

G-S-H-O

5026

1949

 $\text{CH}_3\text{COSH}$  ( $\nu_e$ )

Sheppard N.

Trans. Faraday Soc., 1949, 45, 693-697

Infrared spectrum, and the assignment of the fundamental modes of vibration of thioacetic acid.

G.A., 1949, 8882 de.

W

2

X-5239

1956

$\text{CH}_3\text{SO}_3\text{K}$ ,  $\text{CH}_3\text{OSO}_2\text{K}$ ,  $(\text{CH}_3\text{SO}_3\text{CH}_3$ ,  
 $(\text{CH}_3\text{O})_2\text{SO}$ ,  $(\text{O};)$

Simon A., Kriegsman H.,

Chem. Ber., 1956, 89, 2447-2450

• HO

5034

$C_2H_5SO_2OCH_3$	(9i группы	$CSO_2O$ )	1956
-------------------	------------	------------	------

Simon A., Kriegsmann H., Dutz H.

Chem. Ber., 1956, 89, N 10, 2378-  
2384, 2384-2389, 2390-2396 (нем.)

Schwingungsspektren von Alkylderivaten der Schwefeligen Säure. IV. Die Raman- und IR - Spektren einiger Alkan-sulfonsäure - alkylester. V. Raman-Spektren der Methansulfonsäure und des Methansulfonsäure - anhydrids.

cm.н./об.

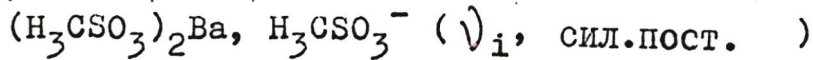
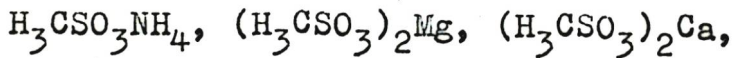
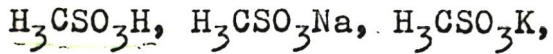
•  $C_3SH_8O_3$

VI. Raman-Spektren der Alkali-Methylsulfite und Raman - und IR.-spektren einiger Dialkylsulfite.

PX., 1958, N 8, 23862

1576

1958

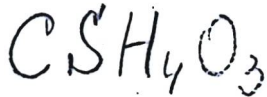


Gerding H., Maarsen J.W.,

Recueil trav.chim., 1958, 77,  
N 5, 374-382 (англ.)

Спектры комбинационного рассеяния ...

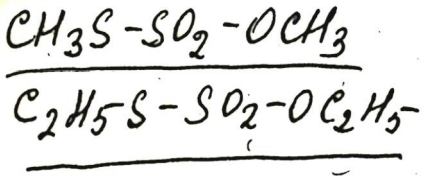
РХ., 1959, N 2,  
3600



$\text{CH}_3(\text{SO})_3^-$  | B95-1579-IV | 1959

Vi  
cui.  
nosc.

Fujimori K.,  
Bull. Chem. Soc. Japan,  
1959, 32, N6, 621-623



BOP-542-IV | 1961

Simon A., Kunath D

Di

Chem Ber., 1961, 94, N<sup>7</sup>,  
1171-1784.

C<sub>2</sub>SH<sub>6</sub>O

БФ-М940-15 | 1961

(7)

Винесов Ф. У.,

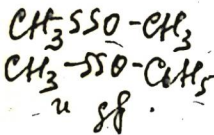
Курдатов Б. А.

Докт. АН ССР, 1961,

140, №, 1364-67

50-

1963



γ

9 Д244. Колебания SO-группы в алкил- и арилтиосульфоксидах. Gherzetti S., Modena G. Vibrational behaviour of the SO-group in alkyl- and aryl-thiosulphoxides. «Spectrochim. acta», 1963, 19, № 11, 1809—1814 (англ.)

Исследованы ИК-спектры в области 4000—650 см<sup>-1</sup> CH<sub>3</sub>—SSO—CH<sub>3</sub>, CH<sub>3</sub>—SSO—C<sub>6</sub>H<sub>5</sub>, C<sub>6</sub>H<sub>5</sub>—SSO—CH<sub>3</sub> и X—C<sub>6</sub>H<sub>4</sub>—SSO—C<sub>6</sub>H<sub>4</sub>—Y, где X, Y=H, CH<sub>3</sub>, CH<sub>3</sub>O, Br, NO<sub>2</sub>. Полоса SO колебаний лежит при 1100 см<sup>-1</sup> и идентифицирована по аналогии со спектрами других дисульфидов и тиосульфонов, а также по характеристич. чувствительности к влиянию растворителей. Обсуждается влияние природы растворителей на сдвиги ν<sub>SO</sub>. Наблюдается удовлетворительная корреляция между ν<sub>SO</sub> и константой Гамметта σ<sup>+</sup>. Библ. 17 назв. Э. Броун

Ф. 1966. 97

S<sub>2</sub>O<sub>5</sub>(CH<sub>3</sub>)<sub>2</sub>

LA-5741

1963

Gillespie R.J., et al.

*Synechococcus* acta. 1963,  
19, 14, 741-6

7:1508)

cur. wcm

1965

 $(\text{CH}_2)_4 \text{SO}_2$ 

ЗД298. Колебательные спектры и молекулярная конфигурация сульфолана. Katon J. E., Feighele W. R., Jr. The vibrational spectra and molecular configuration of sulfolane. «Spectrochim. acta», 1965, 21, № 1, 199—201 (англ.)

Конфигурация  
сульфолана

Получены ИК-спектр поглощения (4000—80  $\text{cm}^{-1}$ ) и спектр комб. рас. сульфолана  $(\text{CH}_2)_4\text{SO}_2$ . Приведены частоты наблюденных полос, оценены их интенсивности и предложено приблизительное отнесение. Из анализа спектра следует, что кольцеобразная молекула сульфолана неплоская.

С. Станкевич

4. 1966. 38

$\text{HSO}_3\text{CH}_3$

Chackalackab S. M.,  
Stafford F. &.

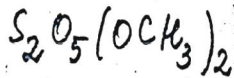
1966  
364

(U.K.)

J. Amer. Chem. Soc., 88, N 21,  
4815.

Изопропаносульфат  
моногидрат нестабилен;  
диспр. — и в хлорсигн. —  
представляется смесью /см  $\text{HSO}_3\text{Cl}$ /

1966



2 Д243. Исследования пиросульфорилов. I. Колебательные спектры пиросернокислых эфиров и алкансульфокислых ангидридов. Simon Arthur, Pischtschaq Alfred. Untersuchungen an Pyrosulfurylverbindungen. I. Schwingungsspektren von Pyroschwefelsäureestern und Alkansulfogsäureanhydriden. «Z. anorgan. und allgem. Chem.», 1966, 344, № 1—2, 1—9 (нем.; рез. англ.)

силовые  
посл.

+3

Исследованы спектры комб. рас. и ИК-спектры  $\text{S}_2\text{O}_5(\text{OCH}_3)_2$  (I),  $\text{S}_2\text{O}_5(\text{OCH}_3)\text{CH}_3$  (II),  $\text{S}_2\text{O}_5(\text{CH}_3)_2$  (III) и  $\text{S}_2\text{O}_5(\text{C}_2\text{H}_5)_2$  (IV). Проведено отнесение частот к норм. колебаниям. Анализ спектров подтверждает тождество молекулярных структур I—IV со структурами дисульфурилгалоидов. Получены значения силовых постоянных вдоль S—O-связи ( $f$ ), взаимодействия двух S—O-связей ( $f'$ ), угловая SOS постоянная ( $d$ ) и порядки S—O-связей ( $N$ ) для I и III соответственно:  $f = 3,34$  и  $3,01$ ;  $f' = 0,4$  и  $0,3$ ;  $d = 0,82$  и  $0,74$ ;  $N = 0,8$  и  $0,7$ . Библ. 49 назв.

Э. Броун

оф. 1967. 28

8

1966

CompoundsCephChemical  
and S-O

Pyrosulfuryl compounds. I. Vibrational spectra of pyrosulfuric acid esters and of alkanesulfonic acid anhydrides. Arthur Simon and Alfred Pischtschan (Tech. Univ., Dresden, Ger.). *Z. Anorg. Allgem. Chem.* 344(1-2), 1-9(1966)(Ger). The Raman and ir spectra of  $\text{S}_2\text{O}_4(\text{OMe})_2$ ,  $\text{S}_2\text{O}_5(\text{OMe})\text{Me}$ ,  $\text{S}_2\text{O}_5\text{Me}_2$ , and  $\text{S}_2\text{O}_5\text{Et}_2$  are reported. The frequencies observed are assigned to the normal vibrations. The mol. structure of these compds. is sym., and the same as that of the disulfuryl halides. Force consts. and bond orders for the S-O bond in the S-O-S chain are calcd. 49 references. C. Olivier-Rutgers

C:A: 1966: 65: 5

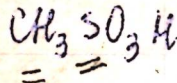
6514 g

Vi, cyclohexanone (J. Am. Chem. Soc., 1967)

Carter J H, Freeman F A,  
Henshall T.

J. molec. Spectrosc., 1964, III, v1, 18-22  
Groups vibrations and the vibrational  
analysis of molecules containing  
methyl groups. part II Dimethyl  
sulfone

Am J Phys, 1968, 15(15)



6 Б1063. Ионизация метансульфокислоты в водном растворе при  $25^\circ$  из измерений ПМР. Covington A. K., Lilley T. H. Ionization of methanesulphonic acid in aqueous solution at  $25^\circ\text{C}$  by proton magnetic resonance measurements. «Trans. Faraday Soc.», 1967, 63, № 7, 1749—1753 (англ.)

Методом ПМР определена степень ионизации ( $\alpha$ ) метансульфок-ты (I) в ее водн. р-рах в интервале конц-ий I от 0,63 до 15,04 M. В этом интервале конц-ий  $\alpha$  I уменьшается от 0,958 до 0,010. Константа ионизации I ( $K$ ), рассчитанная с использованием стехиометрич. коэф. активности, опубликованных ранее (РЖХим, 1964, 14Б694), найдена равной  $16 \pm 2$ . Значение  $K$  намного меньше полученного из данных метода комб. расс. света,  $K = 73 \pm 6$  (см. РЖХим, 1967, 22Б129). Анализируются причины расхождений в величинах  $K$ , найденных методом ПМР и комб. расс. света.

А. С. Соловкин

X. 1968. 6

$(\text{CH}_2)_4 \text{SO}$

1968

11 Д295. Колебательные спектры тетраметиленсульфоксида. Klaboe Peter. The vibrational spectra of tetramethylene sulphoxide. «Acta chem. scand.», 1968, 22, № 1, 369—371 (англ.)

Получены ИК-спектры поглощения ( $4000—240 \text{ см}^{-1}$ ) жидкого и твердого тетраметиленсульфоксида и его спектр комб. рас. с оценкой степени деполяризации линий. Показано, что молекула не принадлежит к точечной группе симметрии  $C_{2v}$ . Произведена интерпретация спектров на основании предположения о принадлежности молекулы к группе  $C_2$ . В области ниже  $1500 \text{ см}^{-1}$  найдено 22 фундаментальных полосы, в том числе очень интенсивная полоса валентного колебания  $\text{S}=\text{O}$  ( $1023 \text{ см}^{-1}$ ).  
А. Белозеров

09.1968.119

$(CH_2)_4 SO$

1968

(u, K,  
v, i)

91384w The vibrational spectra of tetramethylene sulfoxide.  
Peter Klaeboe (Univ. Oslo, Oslo, Norway). *Acta Chem. Scand.*

22(1), 369-71(1968)(Eng). The ir and Raman spectra of tetra-  
methylene sulfoxide were detd., and the fundamental vibrations  
are tentatively assigned to the various peaks on the spectra.

CNJN

C.A. 1968. 68. 20

1968

(CH<sub>3</sub>)<sub>2</sub>S0<sub>3</sub>

3

72400y Vibrational spectra of dimethyl sulfite. Klaeboe,  
Peter (Univ. Oslo, Oslo, Norway). *Acta Chem. Scand.* 1968,  
22(9), 2817-21 (Eng). The ir spectra of dimethyl sulfite as a  
liq. and as a solid at -180° were recorded in the region 4000-  
220 cm.<sup>-1</sup>. A Raman spectrum of the liq. sample was obtained  
and polarization data are presented. The spectra have been  
interpreted in terms of C<sub>3</sub> symmetry. Tentative assignments  
of the skeletal vibrational modes are proposed. RCMW

Yi

C.A.

969.40.16

1968

(M<sub>3</sub>)<sub>2</sub>S0<sub>3</sub>

9 Д324. Колебательные спектры диметилсульфита.  
 Klaeboe Peter. The vibrational spectra of dimethyl sulphite. «Acta chem. scand.», 1968, 22, № 9, 2817—2821  
 (англ.)

Исследованы ИК-спектры поглощения жидкого диметилсульфита (I) и твердого I при т-ре —180° С в области 220—4000 см<sup>-1</sup>, а также спектры комб. рас. жидкого образца. Проведены измерения поляризации. Исходя из предположения о том, что I относится к точечной группе симметрии  $C_s$  и сравнения полученных спектральных данных с анализом колебаний для диметилсульфоксида и структурного сходства с диметилкарбонатом дано отнесение частот. Библ. 11.

Н. А. С.

9. 1969. 98

$(\text{CH}_3\text{CO})_2\text{S}$

1968

11 Д179. Дипольный момент и конформация молекулы  $(\text{CH}_3\text{CO})_2\text{S}$ . Малкглэф J. Hodge, Lee George A., Skinner James F. The electric dipole moment and conformation of acetyl sulfide. «J. Phys. Chem.», 1968, 72, № 6, 2276—2277 (англ.)

Дипольный момент молекулы  $(\text{CH}_3\text{CO})_2\text{S}$ , измеренный при 25° С в бензоле, равен  $2,76 \pm 0,06$  ед. Дебая.

Ф. 1968. 11 №

1969

С Н<sub>4</sub> SO  
2

и.и.

геоги. ср-ко

X. 1969. 21

21 Б295. Микроволновый спектр, структура и дипольный момент этиленэписульфоксида. Saito Shuji. The microwave spectrum, structure, and dipole moment of ethylene episulfoxide. «Bull. Chem. Soc. Japan», 1969, 42, № 3, 663—666 (англ.)

Исследованы вращательные МВ-спектры этиленэписульфоксида  $C_2H_4SO$  (I) и его изотопич. разновидностей  $C_2H^{34}SO$  (II)  $^{13}CCH_4SO$  (III) в основном колебательном состоянии. Идентифицированы линии 17 переходов I по 3 перехода II и III, из частот к-рых определены вращательные постоянные  $A$ ,  $B$ ,  $C$  I, и  $B$ ,  $C$  II и III, а также центробежные постоянные  $D_J$  и  $D_{JK}$  I. По штарковскому расщеплению линий  $1_{01} \leftarrow 0_{00}$  ( $M=0$ ) и  $2_{02} \leftarrow 1_{01}$  ( $M=0,1$ ) найдены компоненты дипольного момента  $\mu_a =$

$=3,61 \pm 0,04$ ,  $\mu_c = 0,89 \pm 0,01$  D и суммарный дипольный момент  $\mu = 3,72 \pm 0,04$  D. Из A, B, C I и B, C II вычислены структурные параметры I, SO=1,483, CS=1,822  $\pm 0,003$  Å, OSC=111°1' и CSC=48°46'  $\pm 10'$ . При этом использованы значения длины связи CH и углов HCH и HCC этилена сульфида. Длины связей C—S и S—O со-  
поставлены с соотв-щими величинами других сульфосо-  
единений.

М. Р. Алиев

90505.3978

ХIV-9791

1969

 $(CH_2)_3S$ 

Sh, Ph

41125

 $(CH_2)_3SP$  (Vi, Структур)

Whiteside J.A.B. Warsop P.A. The electronic spectrum of trimethylene sulfide.  
 "J. Molec. Spectrosc.", 1969, 29, N 1,

1-12

1041 пик  
(англ.)

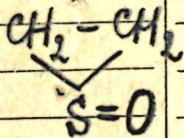
1020

1022

iv 69

ВИНИТИ

C<sub>2</sub>SH<sub>4</sub>O



bpaay. noei.

XIV-2331

1969

34733x Rotational spectrum of ethylene episulfoxide.  
White, William F.; Wollrab, James E. (Langley Res. Center,  
NASA, Hampton, Va.). *Chem. Phys. Lett.* 1969, 3(1), 25-6  
(Eng). The rotational spectrum of ethylene episulfoxide was  
assigned in order to det. the mol. structure and, in particular, the  
orientation of the SO band with respect to the C<sub>2</sub>S ring. Strong  
*a*- and *c*-type transitions were observed, but no *b*-type lines with  
 $J \leq 6$  were found. This observation is consistent with Raman  
data which predict a mol. with *C<sub>2</sub>* symmetry. From assumption  
of reasonable parameters, the 3 ground state moments of inertia  
were calcd. and used to obtain bond lengths and bond angles in  
the *r<sub>0</sub>* structure of ethylene episulfoxide. The ring structure of  
the mol. appears to agree quite well with that found in ethylene  
sulfide.

R. T. O'Connor

C. A. 1969.

41.8



$\text{C}_2\text{H}_4 \text{ S}$

XIV-2331

1969

9 Д400. Вращательный спектр этиленэписульфоксида. White W. F., Wollrab J. E. Rotational spectrum of ethylene episulfoxide. «Chem. Phys. Letters», 1969, 3, № 1, 25—26 (англ.)

Исследован вращательный спектр молекулы этиленэписульфоксида в основном состоянии. Наблюденны интенсивные переходы  $a$ - и  $c$ -типа, характерные для почти вытянутого волчка. Полученные результаты соответствуют данным по спектрам ЯМР и комб. рас. в предположении  $C_s$ -симметрии молекулы. Определена  $r_0$ -структура молекулы. Дипольный момент равен 3,66 ед. Дебая. Г. П.

9 · 1969 · 98

C-S-H-O

1970

CH<sub>3</sub>SO<sub>3</sub>

CD<sub>3</sub>SO<sub>3</sub>

ИК-спектр

15 Б201. Инфракрасные спектры и анализ в нормальных координатах солей с анионами X<sub>3</sub>CSO<sub>3</sub><sup>-</sup> (X=H, D, F, Cl). Bürger H., Wigczuk K., Blaschette A. Infrarot-Spektren und Normalkoordinatenanalyse von Salzen mit den Anionen X<sub>3</sub>CSO<sub>3</sub><sup>-</sup> (X=H, D, F, Cl). «Monatsh. Chem.», 1970, 101, № 1, 102—119 (нем.; рез. англ.)

Исследованы ИК-спектры MeSO<sub>3</sub> (I), CD<sub>3</sub>SO<sub>3</sub> (II), CF<sub>3</sub>SO<sub>3</sub> (III), CCl<sub>3</sub>SO<sub>3</sub> (IV), MePO<sub>3</sub> (V) и CD<sub>3</sub>PO<sub>3</sub> (VI); проведено отнесение полос, подтверждение спектром КР Ag(CF<sub>3</sub>SO<sub>3</sub>). Для I—VI проведен анализ в нормальных координатах при одном и том же силовом поле. В колебаниях симметрии A<sub>1</sub> I, II, V и VI доминирует одна координата, в то время как для III и IV распределение потенциальной энергии указывает на смешение координат в кол. SCF<sub>3</sub> и SCl<sub>3</sub>. Характерная полоса вал. кол. связи CS в спектрах не наблюдается. М. Дейчмайстер

X: 1970. 15



+3



$\text{CH}_3\text{SO}_3^-$

$\text{CD}_3\text{SO}_3^-$

circ. no. 7.

1970

105434j Infrared spectra and normal coordinate analysis of compounds with the anions  $\text{CX}_3\text{SO}_3^-$  ( $X = \text{H}, \text{D}, \text{F}, \text{Cl}$ ). Buerger, Hans; Burczyk, K.; Blaschette, A. (Inst. Anorg. Chem., Tech. Univ., Brunswick, Ger.). *Monatsh. Chem.* 1970, 101(1), 102-19 (Ger). The ir spectra of several salts contg. the anions  $\text{MeSO}_3^-$ ,  $\text{CD}_3\text{SO}_3^-$ ,  $\text{CF}_3\text{SO}_3^-$ , and  $\text{CCl}_3\text{SO}_3^-$ , and Raman data for  $\text{Ag}[\text{CF}_3\text{SO}_3]$ , are reported. A normal coordinate anal. by using the generalized valence force field was made for the above anions, as well as for  $\text{MePO}_3^{2-}$  and  $\text{CD}_3\text{PO}_3^{4-}$ . The  $A_1$  modes of  $\text{CF}_3\text{SO}_3^-$  and  $\text{CCl}_3\text{SO}_3^-$  were mixed; no characteristic CS stretching vibration occurred.

BTJG

C.A. 1970. 72. 20

C-S-O  
орг. соед

1970

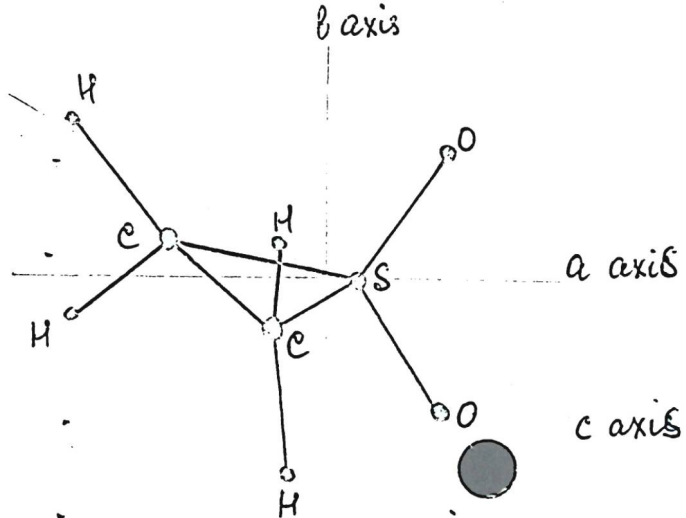
8 Б87. Молекулярная спектроскопия с помощью рентгеноэлектронного метода. II. Соединения серы. Корреляция энергии связи электронов со структурой. Lindberg B. J., Hamrin K., Johansson G., Gelius U., Fahlgren A., Nordling C., Siegbahn K. Molecular spectroscopy by means of ESCA. II. Sulfur compounds. Correlation of electron binding energy with structure. «Phys. scr.», 1970, 1, № 5—6, 286—298 (англ.)

старую. Методом рентгеноэлектронной спектроскопии исследованы энергии  $2p$ -электронов S в 136 орг. и неорг. соединениях серы. В этих же соединениях получены спектры  $1s$ -электронов O и N. Рассмотрена корреляция сдвигов энергии связи  $2p$  S с зарядом атома серы в хим. соединениях. Оценена полярность связи S—O в сульфоксидах, сульфонах, сульфинатах, сульфонатах и в сложных

X. 1971 8

эфирах сернистой и серной кислоты. В этих соединениях связь S—O имеет полярность, промежуточную между чистой полуполарной связью  $S^+—O^-$  и чистой двойной связью S=O. На основе малого заряда серы в сульфониевых соединениях предположена ассоциация ряда соединений в бимолек. структуры. Приведен ряд примеров определения структурь соединения на основе сдвигов в рентгеноэлектронных спектрах. Сообщ. I см. РЖХим, 1970, 4Б168.

В. И. Нефелов



principal axes in molecules (molecules)

yo b cmyk knyze meos eeorekyen

$\gamma(S-O)$

$1,438 \pm 0,006 \text{ \AA}^{\circ}$

$\gamma(C-S)$

$1,431 \pm 0,006 \text{ \AA}^{\circ}$

$\gamma(C-C)^*$

$1,590 \pm 0,011 \text{ \AA}^{\circ}$

$\angle OSO$

$121^{\circ}26' \pm 30'$

$\angle CSC$

$54^{\circ}40' \pm 15'$

Assumed parameters

$\gamma(C-H)$

$1,078 \text{ \AA}^{\circ}$

$\angle CHC$

$116^{\circ}0'$

$\angle H_2CC$

$157^{\circ}43'$

parameters

\* C-C distance is not independent of the other listed above

C-S-H-O

XIV-1946

1970

21 Б244. Микроволновый спектр этиленэписульфона.  
Nakano Yuji, Saito Shuji, Morino Yonezo.  
Microwave spectrum of ethylene episulfone. «Bull. Chem.  
Soc. Jap.», 1970, 43, № 2, 368—371 (англ.)

Исследованы МВ-вращательные спектры молекулы  
этиленэписульфона (I) (8230,87—32 073,25 Мгц,  $0 < J \leq 5$ ), а также его C<sup>13</sup>—(II) (15 957,48—31 356,00 Мгц,  
 $1 < J \leq 4$ ) и S<sup>34</sup>—(III) (16 937,96—27 426,90 Мгц,  $1 < J \leq 3$ ) — изотопозамещенные молекулы в основном  
колебательном состоянии. Определены вращательные по-  
стоянныe: для I A=6676,58±0,2, B=4924,28±0,1, C=  
=3760,15±0,1, для II A=6623,35±2,0, B=4815,91±0,1,  
C=3713,86±0,1, для III A=6673,87±2,0, B=4918,66±0,1,  
C=3757,57±0,1 Мгц. Из анализа МВ-спектров сделан

и.и.

шол. спр. вс

XIV-1970. 21

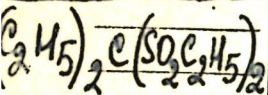
вывод, что молекула I имеет симметрию  $C_{2v}$ . При использовании величин  $r(\text{C}-\text{H})=1,078 \text{ \AA}$  и  $\text{CHC}=116^\circ 0'$ ,  $\text{H}_2\text{CC}=151^\circ 43'$  из молекулы этиленсульфида найдены следующие метрич. параметров молекулы I:  $r(\text{S}-\text{O})=1,439 \pm 0,006$ ,  $r(\text{C}-\text{S})=1,731 \pm 0,006$ ,  $r(\text{C}-\text{C})=1,590 \pm 0,011 \text{ \AA}$ ,  $\text{OSO}=121^\circ 26' \pm 30'$ ,  $\text{CSC}=54^\circ 40' \pm 15'$ . Определен дипольный момент молекул I  $\mu=4,41 \pm 0,05 \text{ D}$ ; он направлен по оси  $a$ .

А. Александров

C-S-H-O-coeg

XIV-1946

1980



Этилсульфон  
дихлорид.  
СУКР.

126994g Microwave spectrum of ethylene sulfone. Nakano, Yuji; Saito, Shuji; Morino, Yonezo (Sagami Chem. Res. Center, Kanagawa, Japan). Bull. Chem. Soc. Jap. 1970, 43(2), 368-71 (Eng). Microwave spectra of normal,  $^{13}\text{C}$ -, and  $^{34}\text{S}$ -isotopic species of ethylene sulfone have been investigated. Anal. of the spectra shows that the mol. has  $C_2$  symmetry. The structural parameters obtained from the spectral data for normal and  $^{13}\text{C}$  ethylene sulfone are:  $r(\text{C-C}) = 1.590 \pm 0.011 \text{ \AA}$ ,  $r(\text{C-S}) = 1.731 \pm 0.006 \text{ \AA}$ ,  $r(\text{S-O}) = 1.439 \pm 0.006 \text{ \AA}$ ,  $\angle \text{CSC} = 54^\circ 40' \pm 15'$ , and  $\angle \text{OSO} = 121^\circ 26' \pm 30'$ , on the assumption that the C-H distances and the  $\angle \text{HCH}$  and  $\angle \text{H}_2\text{CC}$  angles are the same as those of ethylene sulfide. Stark-effect measurements have yielded a value of  $4.41 \pm 0.05 \text{ D}$  for the dipole moment along the  $a$  axis. The structure obtained has been compared with those of other related mols. RCQC

C. A. 1970. 72:24

C-H-S-O

co-equa:

1971

(65816) Spectroscopic behavior of organic sulfur compounds.  
3. The vibrational spectra of simple sulfides, sulfoxides, and sulfones at 500–1500 cm<sup>-1</sup>. Brunn, Joachim; Doerffel, Klaus (Sekt. Verfahrenschem., Tech. Hochsch. Chem. "Carl Schorlemmer," Leuna-Merseburg, Ger.). *Wiss. Z. Tech. Hochsch. Chem. "Carl Schorlemmer"* Leuna-Merseburg 1971, 13(2), 101–8 (Ger). The ir vibrational spectra of 159 sulfides, sulfoxides, and sulfones at 500–1500 cm<sup>-1</sup> are given. Frequencies are tabulated for various mol. fragments.

M. Elmslie

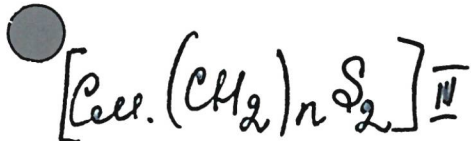
C.A. 1972. 76. 12

$(\text{CH}_3)_2\text{SCO}$

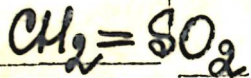
an.  
crp.-ce;  
(nacre)

Yamabe-H.  
at all

Bull. Chem. Soc. Jap.  
1949, 42, N3, 604-10



1971



8 Б370. Импульсный термолиз. Реакционная способность и спектр инфракрасного поглощения сульфена.  
 King J. F., Martyn R. A., Mayo P. de, Verdun D. L.  
 Flash thermolysis. The reactivity and infrared spectrum of  
 sulfene «J. Amer. Chem. Soc.», 1971, 93, № 23, 6304—6305  
 (англ.)

*76*  
 Измерен спектр ИК-поглощения в области 600—  
 4000  $\text{cm}^{-1}$   $\text{CISO}_2\text{CH}_2\text{COOH}$  (I) и  $\text{CH}_3\text{SO}_2\text{OSO}_2\text{CH}_3$  (II),  
 осажденных на подложку при  $-196^\circ$  и подвергнутых за-  
 тем импульсному термолизу. По ИК-спектру обнаружено

+2

X. 1972.8



Образование  $\text{CH}_2=\text{SO}_2$  в обоих случаях. К кол.  $\text{CH}_2=\text{SO}_2$  отнесены полосы: 3170, 3040, 1330, 1230 и 350  $\text{см}^{-1}$ . При нагревании подложки эти полосы исчезают, взамен появляются полосы метансульфонилхлорида. При аналогичных опытах по осаждению I и II в смеси с  $\text{CH}_3\text{OH}$  и последующем импульсном термолизе, также зафиксировано появление полос сульфена 1330 и 1230  $\text{см}^{-1}$ , к-рые исчезают при нагревании подложки до  $-155^\circ$ , и появляются полосы метилметансульфоната.

Г. Кузянц

1972.



Б274. Микроволновой спектр, структура и дипольный момент сульфона этилена. Kim Hyupung. Microwave spectrum, structure, and dipole moment of ethylene sulfone. «J. Chem. Phys.», 1972, 57, № 3, 1075—1077 (англ.)

Измерены МВ спектры сульфона этилена с  $S^{32}$  и  $S^{34}$ . Определены вращательные постоянные  $A$ ,  $B$  и  $C$ : 6676,06; 4924,01 и 3759,97 МГц для  $S^{32}$  и 6679,20, 7917,07 и 3757,64 МГц для  $S^{34}$ . Определены структурные параметры сульфона этилена:  $r_{\text{S}-\text{O}} = 1,42 \pm 0,02$  Å,  $r_{\text{C}-\text{S}} = 1,586 \pm 0,01$  Å,  $r_{\text{C}-\text{H}} = 1,76 \pm 0,02$  Å и  $\text{OSO} = 124 \pm 2^\circ$  (в предположении, что  $r_{\text{C}-\text{H}}$ ,  $\angle \text{HCH}$  и  $\angle \text{H}_2\text{CC}$  имеют те же значения, как в сульфидах этилена). Измерение штарк-эффекта для двух переходов  $2_{02} - 3_{02}$  и  $2_{12} - 3_{13}$  дает для дипольного момента сульфона этилена величину  $4,47 \pm 0,02$  D.

Г. Кузьинц

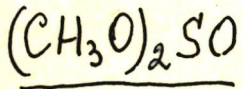
X. 1973. № 2.

C-H-O-S

1972

81528t Microwave spectrum, structure, and dipole moment of ethylene sulfone. Kim, Hyunyong (Dep. Chem., Univ. Missouri, Columbia, Mo.). *J. Chem. Phys.* 1972, 57(3), 1075-7 (Eng). The microwave rotational spectra of the  $^{32}\text{S}$  and  $^{34}\text{S}$  isotopic species of ethylene sulfone were obsd. The rotational consts.  $A$ ,  $B$ , and  $C$  in MHz are: 6676.06, 4924.01, and 3759.97 for the  $^{32}\text{S}$  species; and 6679.20, 4917.07, and 3757.64 for the  $^{34}\text{S}$  species. The structural parameters obtained are  $r(\text{S}-\text{O}) = 1.42 \pm 0.02 \text{ \AA}$ ,  $r(\text{C}-\text{C}) = 1.586 \pm 0.01 \text{ \AA}$ ,  $r(\text{C}-\text{S}) = 1.76 \pm 0.02 \text{ \AA}$ , and  $\angle \text{OSO} = 124 \pm 2^\circ$ , with the assumption that the C-H distance and  $\angle \text{HCH}$  and  $\angle \text{H}_2\text{CC}$  angles are the same as those of ethylene sulfide. From the measurements of Stark shifts, the dipole moment was detd. to be  $4.47 \pm 0.02 \text{ D}$ .

C.A. 1972. 47. 12



1972

Lavalley Jean-Claude,  
Saur Odette.

(Vi) "J. Chim. phys. et phys.-chim.  
biol.", 1972, 69, nr 7-8,  
1149 - 1153;

%. Cu.CH<sub>3</sub>ONO, II%).

$\text{CH}_3\text{OCS}_2$

1973

Mattes R,  
Paulickhoff G.

Vi

"Spectrochim. acta"

1923, A 29, N 7, 1339-44.

(cur. K $[\text{CH}_3\text{OCS}_2]$ ; iii)

1973

24 Б110. Электронографическое исследование строения молекулы тетраметиленсульфона. Наумов В. А., Семашко В. Н., Шайдули С. А. «Ж. структур. химии», 1973, 14, № 4, 595—599

Методом газовой электронографии изучено строение молекулы тетраметиленсульфона. Наилучшее согласие с эксперим. получено для моделей типа конверт (I) и полукресла (II), однозначный выбор между которыми оказался невозможным. В предположении конформаций I и II найдены след. значения межъядерных расстояний (A) и углов: для I C<sub>2</sub>—C<sub>3</sub> 1,537, C<sub>3</sub>—C<sub>4</sub> 1,532, S=O 1,450, C—S 1,797, OSO 114,5°, CSC 101,4°, CCS 104,1°, CCC 114,0°, CSO 110,0°, φ (угол, характеризующий неплоскость цикла) 164,6°; для II C<sub>2</sub>—C<sub>3</sub> 1,540, C<sub>3</sub>—C<sub>4</sub> 1,533, S=O 1,449, C—S 1,798, OSO 114,7°, CSC 101,1°, CCS 104,3°, CCC 111,1°, CSO 110,0°, φ (угол, характеризующий неплоскость цикла) 14,3°.

В. Спиридонов

(H<sub>2</sub>)<sub>n</sub>S<sub>2</sub>Ходят  
нареч

д. 1973 № 24

⊗ (⊕) Синь

C - H - SO (согдн.)

1973

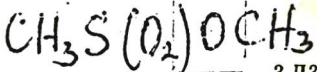
— 6 ДБ2т. Микроволновый спектр 1,1-двуокиси тиета.  
Radowski Wiktor, Ljunggren Stig, Mjöberg Johan. Microwave spectrum of thiete 1,1-dioxide.  
«Acta chem. scand.», 1973, 27, № 8, 3128—3130 (англ.)

В диапазоне 26 500—40 000 МГц впервые измерен микроволны спектр молекулы тиенсульфона. Идентифицированы линии вращательных переходов в основном колебательном состоянии и в четырех низколежащих колебательных состояниях. Определены значения вращательных постоянных для основного и возбужденных состояний. По относит. интенсивности линий основного и возбужденных состояний оценены частоты трех НЧ-колебаний: 184, 303 и 392 см<sup>-1</sup>. Полученные значения вращательных постоянных основного состояния согласуются с их значениями, вычисленными по рентгенографич. данным для структурных параметров.

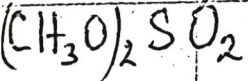
М. Р. Алиев

м. б. синт

ф. 1974 № 6, посмднее стр № 8 — 2892



1973



з Д373 ДЕП. ИК-спектры, дипольные моменты и  
строение метилметансульфоната и диметилсульфата.  
Ремизов А. Б., Бутенко Г. Г. (Редколлегия «Ж.  
прикл. спектроскопии» АН БССР). Минск, 1973. 14 с., ил.,  
библиогр. 19 назв. (Рукопись деп. в ВИНИТИ 21 ноября  
1973 г., № 7356—73 Деп.)

Изучены ИК-спектры (в газообразном, жидким и кри-  
сталлич. состояниях) и дипольные моменты (ДМ) метил-  
метансульфоната (I) и диметилсульфата (II)  
 $[\text{CH}_3\text{S}(\text{O}_2)\text{OCH}_3 \text{ и } (\text{CH}_3\text{O})_2\text{SO}_2]$ . Кристаллич. состояние  
получалось замораживанием жидкой пленки между  
пластиинками из КВг и конденсацией паров на пластинку  
из AgCl, охлажденную до порядка  $-160^\circ\text{C}$ . Исследова-  
ние ИК-спектров позволяет заключить, что в жидкости  
и растворах I и II находятся преимущественно в одной  
конформации. Рассчитаны параметры вращательно-коле-  
бательных полос ИК-спектров и ДМ ряда возможных  
конформаций I и II; эти величины сопоставлены с экспе-  
рим. данными (ДМ I (раствор  $\text{CCl}_4$ ) равен 3,75 Д, II —  
4,08 Д). Показано, что для I наиболее вероятно транс-

спектр.

Фигура 3

расположение групп  $\text{CH}_3$  относительно связи  $\text{S}-\text{O}$ , а для II — транс-цис- либо транс-гош-расположение групп  $\text{CH}_3$  и биссектрисы угла  $\text{O}=\text{S}=\text{O}$  относительно связей  $\text{S}-\text{O}$ . Отмечено, что в ИК-спектрах I и II отсутствует линейная зависимость полос  $v_s(\text{SO}_2)$  и  $v_{as}(\text{SO}_2)$  от фазового состояния. В спектрах кристаллич. I и II наблюдается зависимость контуров и относит. интенсивностей полос от условий кристаллизации, наиболее подробно это рассмотрено для полос  $v_s(\text{SO}_2)$  и  $v_{as}(\text{SO}_2)$ . Относит. интенсивность полосы  $v_s(\text{SO}_2)$  в спектре кристаллического II значительно уменьшается.

Автограф

*C<sub>2</sub>H<sub>4</sub>SO<sub>3</sub>*

*C<sub>2</sub>H<sub>2</sub>Cl<sub>2</sub>O<sub>3</sub>*

*Di*

*X. 1974.*

*N1*

*1973*

1 Б268. Колебательные спектры и строение этиленсульфита и этиленхлорфосфита. Ремизов А. Б., Козлова Р. И., Вахрушева Н. Н., Маннафов Т. Г. «Ж. прикл. спектроскопии», 1973, 19, № 1, 109—117

Измерены ИК-спектры ( $3600—400\text{ см}^{-1}$ ) этиленсульфата (I) и этиленхлорфосфита (II) в газ., жидк. и крист. (при  $-150^\circ$ ) состояниях, в р-рах  $\text{CCl}_4$  и  $\text{CS}_2$  и в матрице из  $\text{CS}_2$ . Исследовано влияние темп. на ИК-спектры жидкостей. Измерен также спектр КР I в области  $3200—100\text{ см}^{-1}$ . Показано, что в спектрах жидкостей и р-ров I и II нет такой зависимости относит. интенсивности полос от темп. и от полярности р-рителя, к-рая говорила бы о наличии конформац. равновесия, не происходит «вымораживания» полос при кристаллизации, а наблюдается лишь расщепление полос и изменение их относит. интенсивности по сравнению с жидкостью, связанные с крист. эффектами. Сделан вывод, что I и II в жидкости и р-ре находятся преимущественно в одной конформации. Проведен расчет частот и форм нормаль-

*80*

*(+1)*

ных колебаний I в трех различных конформациях: плоской (*p*), аксиальной (*a*) и экваториальной (*e*) с углом изгиба кольца 35°. В качестве иулевого приближения были использованы силовые постоянные триметиленсульфита, к-рые затем варьировались. Расчет показал, что спектры трех конформаций I не должны существенно различаться (были прияты во внимание лишь кинематич. различия, а силовое поле для всех конформеров было взято одинаковым). Дано отнесение колебаний I на основании контуров ИК-полос в газе, поляризации линий КР и результатов расчета. Анализ контуров ИК-полос I и II в газ. состоянии привел к заключению, что *e*-конформация в I и II маловероятна. Этот вывод согласуется с электропиографич. данными для I, но не подтверждается такими же данными для II. Е. Разумова

дно:

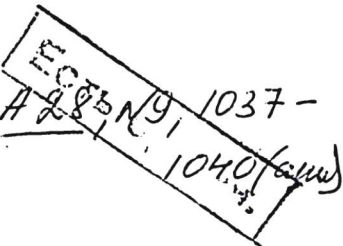
XIV 6500

1974

$\delta = C(SCH_3)_2$  (nucl. ncp)

Almenningen A., Fernholz L., Seip H. M.,  
HenrikSEN L.

Acta chem. scand., 1974, A 28B N9, 1037-



10 (D)

H<sub>2</sub>CSQ

B9-1609-XII

1974

Bernardi F; et al.

M. n.

reconcepitus An. quim. Real. Soc.

esp. fis. y quim.,

1974,



40, N12,

1199-1203.

TC

Ch

1828

*U. S. Clegg*  
20857  
 $(CH_2)_3SO$ 

1974

4-6612

Bel'son John W., Ligon Anthony C., Millen  
 D., James. Tilts, bends, and twists of me-  
 thylene groups in four-membered rings.

Evidence from the microwave spectrum of  
 trimethylene sulphoxide.

"J. Chem. Soc. Chem. Commun"; 1974,-

16, 659-660

(англ.)

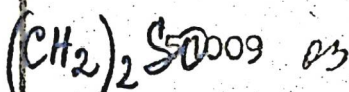
0219 РИК

177 180 201

ВИНТИ

40909.6615

TC, Ch, Ex-C



1974

\* 4-6175

Bock Hans, Solouki Bahman. Photoelektronenspektren und Moleküleigenschaften, XXXV. Sulfoxide X<sub>2</sub>SO-Beispiele für den Nutzen von Korrelationsdiagrammen bei der Diskussion von Substituenteneffekten und von geometrischen Störungen. "Chem. Ber.", 1974, 107, N 7, 2299-2318

0187

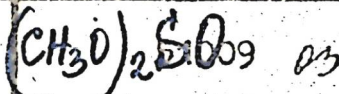
(нэм., рез. англ.)

149 149

-1 170

ВИНИТИ

40909.6615



03

1974

TC, Ch, Ex-C

#4-6175

Bock Hans, Solouki Bahman. Photoelektro-  
 nenspektren und Moleküleigenschaften,  
 XXXV. Sulfoxide X<sub>2</sub>SO-Beispiele für den  
 Nutzen von Korrelationsdiagrammen bei der  
 Diskussion von Substituenteneffekten und  
 von geometrischen Störungen. "Chem. Ber.",  
 1974, 107, N 7, 2299-2318

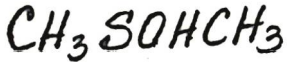
0187

(нэм., рез. англ.)

149 149

-179

ВИНИТИ



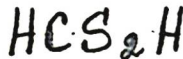
139436s Flash photolysis of dimethyl sulfoxide. Kortkes

Pujo, A. M.; Barat, F.; Mialocq, J. C.; Sutton, J. (CNRS, Gif-sur-Yvette, Fr.). *J. Photochem.* 1974, 2(6), 439-50 (Eng). Flash photolysis of dimethyl sulfoxide in aq. soln. produces 2 transient species resulting from excitation rather than photoionization processes. In alk. media the less stable species,  $\text{CH}_3\text{SOHCH}_3$ , ionizes, with  $10.3 \geq \text{pK}_a \geq 11.3$ . In neutral solns. the rate const. for decay of this species is  $(3.0 \pm 0.3) \times 10^3/\text{sec}$ . The 2nd species, stable under the exptl. conditions used, is  $\text{CH}_3\text{SO}_2\text{H}$ .

unstable  
isomeric

C.A.1974.80.N24

1974



CONFIDENTIAL  
REF ID: A12345678  
M.G.Q.

149218m Hydrogen bonding, tautomerism, and normal vibrations of thiol acids. Kandhawa, H. S.; Rao, C. N. R. (Dep. Chem., Indian Inst. Technol., Kanpur, India). *J. Mol. Struct.*, 1974, 21(1), 123-34 (Eng). By using the complete-neglect-of-differential-overlap (J.A. Pople, et al., 1965) and extended-Hückel (R. Hoffman, 1963) MO methods, H-bonding was studied in HCOSH, MeCOSH, and HCS<sub>2</sub>H. The H bonds formed by both the hydroxy and the thiol-forms were examined. Cyclic dimers of the hydroxy form are more stable, as in carboxylic acids, whereas the open dimers are more stable in the case of the thiol-form. Dithioformic acid forms very weak H bonds compared to the thiol acids. For the hydroxy and thiol forms of HCOSH as well as for the thiosformate ion, vibrational assignments were made based on a normal-coordinate vibrational anal. The thermodyn. functions at 100-600°K were calcd. for the thiosformate ion and the thiol and hydroxy forms of HCOSH.



C.A. 1974, 80, N26

CH<sub>3</sub>COSH

1975

12 Д348. Колебательный анализ тиоуксусной кислоты. Crowder G. A., Robertson E., Potter K. Vibrational analysis of thiolacetic acid. «Can. J. Spectrosc.», 1975, 20, № 2, 49—51 (англ.; рез. франц.)

По модифицированной 23-параметрич. модели валентного силового поля выполнен анализ норм. координат тиоуксусной кислоты. Волн. числа колебательных частот для цис- и трансизомеров различаются на 10—30 см<sup>-1</sup>. Приведены значения силовых постоянных молекулы. Получены ИК-спектры поглощения твердой CH<sub>3</sub>COSH при 77° К и предложено полное отнесение фундаментальных колебательных частот. Частоты колебаний νSH и δCSH, равные соответственно 2566 и 838 см<sup>-1</sup> в жидкой фазе, в твердом состоянии составляют 2525 и 886 см<sup>-1</sup>. Указанные изменения объясняны образованием в твердой CH<sub>3</sub>COSH димеров с водородной связью. Предположено, что при нагревании водородные связи в димере разрываются с переходом циклич. димеров в открытые. Библ. 12.

С. Ф. Б.

Ф. 1975 № 12

(CH<sub>3</sub>CO)<sub>2</sub>S деср. 3185 1975

16 Б233. Колебательные спектры тиоангидридов. II.  
Диацетилсульфид. Fortunato Bruno, Giorgini  
Maria Grazia, Mironi Paolo. Vibrational spectra  
of thioanhydrides. II. Diacetyl sulphide. «J. Mol. Struct.»,  
1975, 25, № 2, 237—242 (англ.)

Получены ИК-спектры в тв. ( $-180^{\circ}$ ), жидк. и газ.  
состояниях и спектр КР в жидк. состоянии диацетил-  
сульфида (I), измерены степени деполяризации линий  
КР. Изучены положение и интенсивность полос вал. кол.  
СО в р-рителях различной полярности. Найдено, что  
изменение темп. от 20 до  $100^{\circ}$  не вызывает существен-  
ных изменений в спектрах жидкости; все полосы, най-  
денные в спектрах жидкости, присутствуют в спектрах  
тв. состояния. На этом основании сделан вывод о том,  
что I существует в виде одного конформера, однако  
из-за возможности вращения СО-группы вокруг связи

Колебания.  
спектр

Х 1975 N 16

С—S в каждом р-рителе осуществляется одна определенная конформация, отличающаяся от других величиной угла выхода из плоскости молекулы группы СО. Более полярный р-ритель стабилизирует более полярную форму. Сообщ. I см. пред. реферат. Т. Б. Ченская

де

C - H - S

1975

1 Д365. Электронная структура соединений, содержащих серу. Ч. XVI. Фотоэлектронные спектры этилентритиокарбоната и этилендитиокарбоната. Guimond Claude, Pfister-Guillouzo Genevieve. Electronic structure of sulfur compounds. XVI. Photoelectron spectra of ethylene trithiocarbonate and ethylene dithiocarbonate. «J. Electron. Spectrosc. and Relat. Phenom.», 1975, 7, № 2, 191—195 (англ.)

(3)

Получены фотоэлектронные спектры (Не — 584 Å) этилентритиокарбоната (I) и этилендитиокарбоната (II). Предложена интерпретация полученных спектров. Вертикальные потенциалы ионизации I и II равны (в эВ): 8,40 ( $b_2$ ), 8,87 ( $b_1$ ), 9,42 ( $a_2$ ), 11,42 ( $b_2$ ), 12,05 ( $a_1$ ), 12,6 ( $b_1$ ), 12,85 ( $a_1$ ) — I, 9,50 ( $b_2$ ), 9,88 ( $a_2$ ), 10,08 ( $b_1$ ), 11,85 ( $b_2$ ), 12,64 ( $a_1$ ) — II. Отмечено хорошее согласие между экспериментальными и расчетными (по методу ППДП) данными.

Ю. В. Чижов

оф 1976 №1

HCO<sub>2</sub>SH

\* 45-8083

1975

(configur.)

(M.N.)

177439 Determination of the structure of monothioformic acid by microwave spectroscopy. Hocking, William H.; Lüser, Gilbert (Max Planck Inst. Radioastron., Bonn, FRG). *J. Chem. Soc., Chem. Commun.* 1975, (2), 63-4 (Eng). The ground vibrational state rotational spectra of 2 planar conformers of HCO<sub>2</sub>SH, *trans*-HC(:O)SH and *cis*-HC(:O)SH, were measured and assigned in the microwave and mm wave regions; the HSIOH isomers were not detected.

XIV - 6260

C.A. 1975, 83, N26

HCOSH

и 1 Б316. Определение структуры монотиомуравьиной кислоты с помощью микроволновой спектроскопии. Hocking William H., Winniewisser Gisbert. Determination of the structure of monothioformic acid by microwave spectroscopy. «J. Chem. Soc. Chém. Com-  
muns», '1975, № 2, 63—64 (англ.)

1975

Исследованы МВ-спектры в основном колебательном состоянии двух плоских вращательных изомеров монотиомуравьиной к-ты: транс-изомёра  $\text{HC}(\text{:O})\text{SH}$  (I) и цис-изомера  $\text{HC}(\text{:Q})\text{SH}$  (II). Для обоих образцов определены моменты инерции и вращательные постоянные в Мгц, для I:  $A = 62036,112 \pm 0,019$ ;  $B = 6125,3056 \pm 0,0005$ ;  $C = 5569,6437 \pm 0,0005$  и для II:  $A = 62927,723 \pm 0,009$ ;  $B = 6134,2606 \pm 0,0008$ ;  $C = 5584,7539 \pm 0,0008$ . Эффекты центробежного искажения в обоих случаях малы. При исследовании вращательного изомеризма идентифицировано несколько переходов с низкими  $J$  для  $^{34}\text{S}$  образца и дейтерированного образца  $\text{HC}(\text{:O})\text{SD}$ . При ряде предположений относительно структурных параметров определено межъядерное расстояние CS для I: 1,760 Å, и для II: 1,760 Å, и угол связи OCS для I:  $125,7^\circ$  и для II:  $123,1^\circ$ .

С. Н. Мурзин

ell.  
1.1.

83  
80  
63  
5  
X

х 1975 vi

51022.1228

Ph, Ch, TC

31603 Сел. носб.

$\text{CH}_3\text{OC}\text{S}^{\ominus}$

1975

\* 4-10404

Mattes R., — Scholten K. Schwingungsspektren und Kraftkonstanten in Monoalkylcarbonaten und Monoalkylthiocarbonaten.

"Spectrochim. acta", 1975, A31, N9-10, 1307-1315 (нем., рез. англ.)

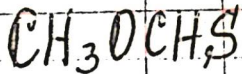
0481 пик

454 456 473

ВИНИТИ

\* 45 - 8410

1975



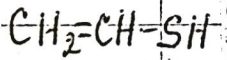
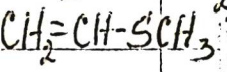
14 Б103. Электронографическое исследование строения молекулы метилтионформата в газовой фазе.  
Rooij J. de, Mijlhoff F. C., Renes G. An electron diffraction study of the molecular structure of methylthionformate in the gas phase. «J. Mol. Struct.», 1975, 25, № 1, 169—174 (англ.)

Молекул  
структура

Методом газовой электронографии изучена структура молекулы  $\text{CH}_3\text{OCHS}$ . Установлено, что связи  $\text{C}=\text{S}$  и  $\text{O}-\text{CH}_3$  находятся приблизительно в затменном положении. Найдены след. значения межъядерных расстояний ( $r_a$ , Å) и углов:  $\text{C}-\text{O}$  1,369 (0,003),  $\text{C}=\text{S}$  1,612 (0,003),  $\text{C}-\text{H}$  1,114 (0,009),  $\angle \text{OCS}$  126,6° (0,5),  $\angle \text{OCsH}$  106,7° (2,8),  $\angle \text{OCH}_{\text{метил}}$  110,8° (1,1),  $\angle \text{COC}$  115,5° (0,6),  $\angle \text{C}-\text{O}-\text{C}-\text{H}$  (диэдрич. угол между плоскостями  $\text{H}_{\text{метил}}\text{CO}$  и  $\text{COC}$ ) 29,2° (3,1),  $\angle \text{S}-\text{C}-\text{O}-\text{C}$  (диэдрич. угол между плоскостями  $\text{SCO}$  и  $\text{COC}$ ) 15,8 (2,5)°.

В. Спиридонов

X. 1975 № 14



3 Б140. Потенциал вращения вокруг связей  $C(sp^2)-O$  и  $C(sp^2)-S$ . Электронографические данные для  $CH_2=CH-OSH_3$  и  $CH_2=CH-SCH_3$  и неэмпирические расчеты  $CH_2=CH-OH$  и  $CH_2=CH-SH$ . Samdal S., Seip H. M. Potential for rotation about  $C(sp^2)-O$  and  $C(sp^2)-S$  bonds: electron diffraction results for  $CH_2=CH-OCH_3$  and  $CH_2=CH-SCH_3$  and ab initio calculations on  $CH_2=SH-OH$  and  $CH_2=CH-SH$ . «J. Mol. Struct.», 1975, 28, № 1, 193—203 (англ.)

Получены электронографич. данные для метилвинилового эфира (I) и метилванилового сульфида (II).

Установлено, что каждое соединение существует в виде смеси двух конформеров, один из к-рых представляет собой син-форму с плоским скелетом тяжелых атомов.

Для I 2-й конформер также может иметь плоский скелет (анти-форма), хотя гош-форму с торсионным углом, близким к  $180^\circ$ , нельзя исключить. Для 2-го конформера II установлена гош-форма. Найдены след. значения межъядерных расстояний ( $r_a$ , Å) и углов:

1975

Б140

Б143

Б144

Б145

Б146

+1

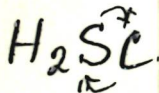
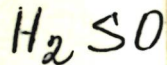
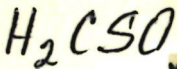
Б147

X. 1976. № 3

I, C=C 1,341, C<sub>2</sub>-O<sub>3</sub> 1,360(3), C<sub>4</sub>-O<sub>3</sub> 1,428(3),  
C<sub>1</sub>-H, C<sub>2</sub>-H<sub>5</sub> 1,088(14), C<sub>4</sub>-H 1,105(14),  $\angle$  COC  
118,3(1,1) $^\circ$ ,  $\angle$  CCO 127,7(1,4) $^\circ$ , (значения углов CCO и  
COC соответствуют син-форме, а для анти-формы они  
на 1,5 и 2,0 $^\circ$  соотв. меньше), OCH 114,8 $^\circ$  (1,2) $^\circ$ ,  $\varphi$   
(торсионный угол 2-го конформера) 180 $^\circ$ , процент син-  
формы 73(2); II, C=C 1,341(3), C<sub>2</sub>-S<sub>3</sub> 1,747(3),  
C<sub>4</sub>-S<sub>3</sub> 1,807(3), C<sub>1</sub>-H, C<sub>2</sub>-H<sub>5</sub> 1,086(26), C<sub>4</sub>-H  
1,101(26), CSC 104,6 (0,8) $^\circ$ , CCS 127,5(0,4) $^\circ$ , SCH  
112,1(1,9) $^\circ$ ,  $\varphi$  (торсионный угол 2-го конформера)  
116(6,6) $^\circ$ , процент син-формы 38(7). Расчеты неэмпи-  
рич. методом МО ЛКАО ССП приводят к минимумам  
энергии для след. форм: син и анти (I) и син и гош (II).

В. Спиридонов

1976



расчет  
геометрии  
(ч.н.)

✓ 19 Б16. Исследование соединений серы неэмпирическим методом ЛКАО ССП МО. I. Оптимизация геометрии и распределение заряда в сульфинах. Bernardi Fernando, Maccagnani Gaetano, Mangini Angelo. Ab-initio LCAO-SCFMO treatment of sulphur compounds. I. Geometry optimization and charge distribution of sulphines. «An. quím. Real soc. esp. fíis. y quím.», 1974, 70, № 12, 1199—1203 (англ.; рез. исп.)

Неэмпирическим методом ССП МО ЛКАО в базисах OCT-3ГФ и 4-31ГФ рассчитаны молекулы  $\text{H}_2\text{CSO}$  (I),  $\text{H}_2\text{SO}$  (II) и  $\text{H}_2\text{CS}$  (III). Расчет I и III выполнен с оптимизацией геометрии; I — в базисе OCT-3ГФ, оптимизировались все длины связей, валентные углы и варьировался угол  $\alpha$ , образованный плоскостью  $\text{CH}_2$  и связью CS. Минимум энергии отвечает плоской конфи-

+2



X, 1976, 19.

гурации атома С; для этой конфигурации I длины связей CS и SO, валентные углы CHS, HCH и CSO были уточнены расчетом в базисе 4-31ГФ, геометрия III оптимизировалась в базисе 4-31ГФ, для II использована эксперим. геометрия. Оптимизированная геометрия I сопоставлена с результатом проведенной ранее оптимизации в приближении ППДП и с имеющимися эксперим. данными. Рассчитанная длина связи SO 1,62 Å заметно больше экспериментального значения 1,50. Проанализированы заряды на атомах и орбитальные заселенности в I—III и сделан вывод, что в I связь CS является полностью двойной, в то время как связь SO имеет частично двойной характер, напоминающий связь SO в II.

Фаустов

61112.2970  
Ch, TC

0561<sup>15</sup> Геометрия, 1976  
H<sub>2</sub>SCD (геометрия, 1976)  
Хемия № 18 15267  
СМР (р.)

Flood E., Boggs J.E.

Geometries and electronic structures  
of sulfine and thioformaldehyde.

"J. Mol. Struct.", 1976, 34, N 1, 147-151

(англ.)

0749 ПМК

709 712 741

ВИНИТИ

ФССУ 423

$\text{HC}(:\text{O})\text{SH}$

745-13873

1976

11 Д511. Вращательный спектр монотиомуравьиной кислоты. Ч. I. Цис- и транс- $\text{HC}(:\text{O})\text{SH}$ . Hocking William H., Winnewisser Gisbert. The rotational spectrum of monothioformic acid. I. cis- and trans- $\text{HC}(:\text{O})\text{SH}$ . «Z. Naturforsch.», 1976, 31a, № 5, 422—437 (англ.)

Получены микроволни. спектры поглощения газообразной муравьиной кислоты в области 8—250 ГГц. Описан синтез цис- и транс-форм молекул со строением  $\text{HC}(:\text{O})\text{SH}$ . Приведены фрагменты спектров и обширные таблицы частот наблюденных вращательных линий, определенных с точностью 30 кгц. Выполнено отнесение линий к вращательным переходам типа *a* и *b* молекулы в основном и возбужденных колебательных  $v_7$  и  $v_9$  состояниях. Анализ спектра, основанный на диаграммах Фортра, проведен для основного состояния с использо-

(*m, n*)

ф. 1976 № 11

ванием гамильтониана Ватсона с константами центробежного растяжения 4-го и 6-го порядков. Приведены вращательные и центробежные постоянные и вычислены параметры отклонения молекулы от плоскости за счет нулевых колебаний. Сделана попытка обнаружения линий монотиомуравинной кислоты в галактич. радиоисточниках, результат — отрицательный. Библ. 25. М. Тонков

HCOSD 24 Б262. Вращательный спектр монотиомуравьиной  
кислоты. II. Цис- и транс-HC(:O)SD, DC(:O)SH,  
HC(:O)<sup>34</sup>SH<sup>1,2</sup>. Hocking William H., Winniewi-  
ser Gisbert. The rotational spectrum of monothiofor-  
mic acid. II. cis- and trans-HC(:O)SD, DC(:O)SH,  
HC(:O)<sup>34</sup>SH<sup>1,2</sup>. «Z. Naturforsch.», 1976, 31 a, № 5,  
438—453 (англ.)

DCOSH Измерены вращательные спектры трех изотопич. об-  
HCOSH разцов монотиомуравьиной к-ты: HCOSD, DCOSH и  
HCO<sup>34</sup>SH в области частот от 8 до 160 Гц. В спект-  
(цикн) рах всех изотопич. образцов наблюдались вращатель-  
ные переходы, принадлежащие двум изомерным фор-  
мам: цис- и транс-ротамерам. Для всех образцов и  
обоих ротамеров определены вращательные постоян-  
ные и постоянные центробежного искажения. Из вычис-  
ленных значений инерциального дефекта установлено,  
что равновесные конфигурации обоих ротамеров — плос-  
кие. Для цис- и транс-ротамеров определены структур-  
ные параметры, соотв.:  $r(\text{C}-\text{H}) = 1,100$  и  $1,100 \text{ \AA}$ ,  
 $r(\text{C}=\text{O}) = 1,210$  и  $1,218 \text{ \AA}$ ,  $r(\text{C}-\text{S}) = 1,771$  и  $1,763 \text{ \AA}$ ,  
 $r(\text{S}-\text{H}) = 1,336$  и  $1,351 \text{ \AA}$ ,  $\angle \text{OCS} = 122,4^\circ$  и  $126,0^\circ$ ,  
 $\angle \text{HSC} = 94,7^\circ$  и  $92,7^\circ$ ,  $\angle \text{HCS} = 114,6^\circ$  и  $111,8^\circ$  при точ-  
ности определения длин связей  $\pm 0,01 \text{ \AA}$  и углов свя-  
зей  $\pm 1^\circ$ . Сообщ. I. см. пред. реферат. С. Н. Мурзин

+1 X

X. 1976. N 94

HC(:O)SD

ХС-13872

1976

11Д512. Вращательный спектр монотиомуравьиной кислоты. Ч. II. Цис- и транс-HC(:O)SD, DC(:O)SH, HC(:O)<sup>34</sup>SH. Hocking William H., Winnewisser Gisbert. The rotational spectrum of monothiosformic acid. II. cis- and trans-HC(:O)SD, DC(:O)SH, HC(:O)<sup>34</sup>SH. «Z. Naturforsch.», 1976, 31a, № 5, 438—453 (англ.)

Изучены вращательные спектры трех изотопич. замещенных монотиомуравьиной кислоты (I) (HCOSD, DCOSH, HCO<sup>34</sup>SH). Определены константы вращательного движения и центробежных деформаций в I. Показано, что в спектре каждого соединения присутствуют полосы 2 изомеров и установлено, что цис- и трансизомеры имеют плоское строение. Приведены значения углов и длии связей C—H, S—H, C—S, C=O в I. Предположено, что зарегистрированные различия длии связей и углов в цис- и трансизомерах обусловлены отталкиванием водородных атомов в цисизомере и слабым притягиванием неустойчивого водородного атома электроотрицат. атомом O в трансположении. Ч. I см. пеф 11Д511.

И. В. А.

1976  
N11

1976

HCOSH. З Д433. Вращательный спектр монотиомуравьиной кислоты. Ч. III. Измерение дипольного момента и относительных интенсивностей. Hocking William H., Winniewisser Gisbert. The rotational spectrum of monothioformic acid. III. Dipole moment and relative-intensity measurements. «Z. Naturforsch.», 1976, 31a, № 8, 995—1001 (англ.).

Изучен эффект Штарка на вращательных линиях паров монотиомуравьиной кислоты  $\text{HC}(\text{:O})\text{SH}$  и  $\text{HC}(\text{:O})-\text{SD}$ . Зависимость смешения от приложенного напряжения описана полиномом вида  $v = a + bV^2 + cV^4$ , причем ве-

личина  $a$  определяет положение линии при нулевом поле, а коэф.  $c$  мал. По величине  $b$  найдены значения дипольных моментов различных изотопозамещенных молекул в цис- и трансконформациях. Использование изотопов позволило определить значения компонент дипольного момента в системе моментов инерции молекул. Выполнены измерения относит. интенсивностей и полуширина линий двух изомеров. По интенсивностям найдена разность энергий в различных вращательных состояниях. Библ. 21. Ч. II см. РЖФиз, 1976, 11Д512.

М. Тонков

Ф. 1977  
№ 3

61222.3476

40597

1976

Ch.  $\text{D}_0(\text{CH}_3-\text{SO}_2)$  $\text{D}_0(\text{CH}_3\text{SO}_2-\text{H})$ 

Horowitz Abraham. Radiolytic decomposition of methanesulfonyl chloride in liquid cyclohexane. A kinetic determination of the bond dissociation energies  $D(\text{Me}-\text{SO}_2)$  and  $D(c\text{-C}_6\text{H}_{11}-\text{SO}_2)$ . "Int. J. Chem. Kinet.", 1976, 8, N 5, 709-723  
 (англ.) 50, 4

732 736

17.8

0776

ВИНИТИ

C-H-S [HCO (CH<sub>3</sub>)]

1976

24 Б273. Инфракрасный и микроволновый спектры, молекулярная конформация и электрический дипольный момент метил тиолформиата. Jones Geraint I. L., Lister David G., Owen Noel L., Gerry Michael C. L., Palmieri Paolo. Infrared and microwave spectra, molecular conformation and electric dipole moment of methyl thiolformate. «J. Mol. Spectrosc.», 1976, 60, № 1—3, 348—360 (англ.).

Измерены МВ-спектр в области частот от 41 до 10 ГГц и ИК-спектр в области волновых чисел от 4000 до 50 см<sup>-1</sup> метил тиолформиата (I). В результате изучения МВ-спектра и тонкой вращательной структуры ИК-спектра установлено, что спектры принадлежат цис-конформеру метил тиолформиата с метильной группой в цис-положении по отношению к карбонильной связи. Определены вращательные постоянные в МГц: A=11042,22, B=5118,27, C=3562,03, и постоянные цен-

11.12.

1976, № 94

тробежного искажения в кГц:  $D_J = 6,0$ ,  $D_{JK} = 2,2$ ,  $D_K = -12$ ,  $D_{DJ} = 2,30$ ,  $D_{DK} = 21,5$ . По эффекту Штарка для трех переходов и в предположении, что  $\mu_c = 0,0 D$ , определены компоненты дипольного момента в дебаях:  $\mu_a = 1,52 \pm 0,03$ ,  $\mu_b = 0,43 \pm 0,14$ , и полный момент:  $\mu = 1,58 \pm 0,05$ . Полученное значение дипольного момента согласуется с величиной:  $\mu = 1,6 \pm 0,1 D$ , определенной на основе емкостных измерений для р-ра I в бензоле при 295°К. Определены структурные параметры:  $r(C=O) = 1,20 \text{ \AA}$ ,  $\angle SCO = 126^\circ$ ,  $\angle CSC = 100^\circ$  и угол между направлением электрич. дипольного момента и C=O связью:  $43^\circ$ . Для барьера заторможенного внутреннего вращения метильной группы получена оценка:  $V_3 > 10,5 \text{ кДж/моль}$ .

С. Н. Мурзин

CH2SO

#4 - 14199

1976

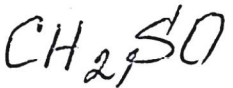
12 Д389. Микроволновый спектр, центробежноеискажение, замещенная структура и дипольный момент CH2SO. Penn Robert E., Olsen Robert J. Microwave spectrum, centrifugal distortion, substitution structure, and dipole moment of sulfine, CH2SO. «J. Mol. Spectrosc.», 1976, 61, № 1, 21—28 (англ.)

В области 8—26 ГГц исследован микроволн. спектр молекулы CH2SO. Отождествлено 86 переходов в основном колебательном состоянии вплоть до  $J=60$ . Определены параметры замещенной структуры. Из измерений эффекта Штарка нормального и  $d_2$ -образцов определен дипольный момент, равный 2,994 ед. Дебая.

Ф 1976 № 12

№ 13-14199

1976



~~1 Б266.~~ Микроволновой спектр, центробежноеискажение, строение и дипольный момент сульфина,  $\text{CH}_2\text{SO}$ . Penn Robert E., Olsen Robert J. Microwave spectrum, centrifugal distortion, substitution structure, and dipole moment of sulfine,  $\text{CH}_2\text{SO}$ . «J. Mol. Spectrosc.», 1976, 61, № 1; 21—28 (англ.)

Измерен МВ-спектр сульфина  $\text{CH}_2\text{SO}$  (I). Анализ 86 переходов обычной изотопией разновидности I с помощью метода наименьших квадратов дал значения 16 параметров, характеризующих центробежное искажение. Из изменений вращательных постоянных  $B$  и  $C$  для пяти изотопных модификаций I получены значения длии связей (в Å)  $\text{CH}$  (син) 1,085,  $\text{CH}$  (анти) 1,077,  $\text{CS}$  1,610,  $\text{SO}$  1,469 и углов (град)  $\text{HCH}$  121,86,  $\text{SCH}$  (син) 122,51,  $\text{SCH}$  (анти) 115,63 и  $\text{CSO}$  114,72. Определены значения дефекта инерции молекулы и величина эффекта сокращения межатомного расстояния  $\text{C}\cdots\text{O}$ . Из измерения величины эффекта Штарка для 14 переходов получено значение дипольного момента  $2,994 D$ , к-рый ориентирован под углом  $25,50^\circ$  к связи  $\text{SO}$  и  $9,61^\circ$  к оси  $a$ . При давлении  $30 \cdot 10^{-3}$  мм при  $25^\circ$  время жизни I составляет  $\sim 30$  мин.

Ю. Н. Панченко

28.1977 № 1

(CH<sub>2</sub>)<sub>3</sub>SO XIV - 8935  
T (2000 ang., D<sub>2</sub>, en) 1972

Beran J.W., Legon A.C., Niblett  
D.J.,

Proc. Roy Soc. London, 1974, 354,  
n1649, 491-509 (au)

The microwave spectrum and structure of trimethylene sulphoxide:  
bends, tilts and twists in the  
methylenic groups.

PLATE 1974, 225300 10 (P)



Grunwell J.R. et al. 1974



Tetrahedron, 1974, 33,  
N<sup>o</sup> 21, 2781-2784.



Л-Н-05

20 Б314. Строение молекулы метилового эфира  
фторсульфоновой кислоты по данным микроволновой  
спектроскопии и электронографии. Hargittai Ist-  
ván, Seip Ragnhild, Nair K. P. Rajappan,  
Britt Chester O., Boggs James E., Cyvin  
Bjørg N. On the molecular structure of fluorosulphu-  
ric and methyl ester as studied by microwave spectros-  
copy and electron diffraction. «J. Mol. Struct.», 1977,  
39, № 1, 1—13 (англ.)

1977

модель.  
злощер.

Методами МВ-спектроскопии и газовой электронографии изучено строение молекулы метилового эфира фторсульфоновой к-ты. Получены след. молекулярные параметры, хорошо согласующиеся с величинами для др. простых сульфонов:  $r_a(S=O) = 1,410$ ,  $r_a(S-F) = 1,545$ ,  $r_a(S-O) = 1,558 \text{ \AA}$ , углы FSO 96,8, FS=O 106,8, OS=O 109,5, O=S=O 124,4 и SOC 116,5°. Оба метода указывают на присутствие в газовой фазе анти-формы, тогда как возможность существования гош-изомера также не м. б. исключена. Резюме

Х. 1977 № 20

HCOSH

БР - XIV - 9340

1977

7 Д562. Вращательный спектр монотиоуксусной кислоты. Ч. IV. Цис- и транс- $\text{H}^{13}\text{C}(\text{:O})\text{SH}$  и  $\text{HC}(\text{:}^{18}\text{O})\text{SH}$ . Hocking William H., Winniewisser Gisbert. The rotational spectrum of monothioformic acid. IV. Cis- and trans- $\text{H}^{13}\text{C}(\text{:O})\text{SH}$  and  $\text{HC}(\text{:}^{18}\text{O})\text{SH}$ . «Z. Naturforsch.», 1977, A32, № 10, 1108—1118 (англ.)

Получены микроволновые и миллиметровые спектры поглощения в области 10—200 ГГц молекул  $\text{H}^{13}\text{COSH}$  и  $\text{HC}^{18}\text{OSH}$  в газовой фазе. Приведены таблицы частот и интерпретация нескольких десятков линий поглощения, соответствующих чисто вращательным переходам в цис- и трансротамерах исследованных молекул. По эксперим. данным рассчитаны вращательные постоянные и квартичные постоянные центробежного растяжения. Рассчитанные константы в совокупности с полученными ранее аналогичными данными для молекул HCOSH, DCOSH, HCOOSD и  $\text{HCO}^{34}\text{SH}$  использованы для определения структурных параметров цис- и трансротамеров. Ч. III. Hocking W. H. Et al., «Z. Naturforsch.», 1976, 31a, 995. Библ. 42.

Ю. М. Л.

гр: 1978 N 4

$\text{HC}(\text{O})\text{SH}$

ВР-ХIV-9340

1944

№ 8 Б177. Вращательный спектр монотиомуравьиной кислоты. IV. Цис- и транс- $\text{H}^{13}\text{C}(\text{:O})\text{SH}$  и  $\text{HC}(\text{:}^{18}\text{O})\text{SH}$ .

Hocking William H., Winnewisser Gisbert.  
The rotational spectrum of monothioformic acid. IV.  
cis- and trans- $\text{H}^{13}\text{C}(\text{:O})\text{SH}$  and  $\text{HC}(\text{:}^{18}\text{O})\text{SH}$ . «Z. Naturforsch.», 1977, A32, № 10, 1108—1118 (англ.)

Измерены в области частот от 8 до 40 Гц и от 75 до 180 Гц вращательные спектры изотопич. образцов монотиомуравьиной к-ты,  $\text{H}^{13}\text{COSH}$  (I) и  $\text{HC}^{18}\text{OSH}$  (II), в основном колебательном состоянии. Идентифицировано свыше 60 переходов, к-рые отнесены к двум ротамерам, цис(C) и транс(T), обоих образцов. Анализ спектров выполнен с использованием гамильтониана в представлении Уотсона с учетом квартичного центро-

2, № 1948

бежного искажения. Для  $C_1$ ,  $C_{II}$ ,  $T_1$  и  $T_{II}$  определены вращательные постоянные и постоянные центробежного искажения. Полученные результаты вместе с известными данными для 4 изотопич. образцов монотиомуравьиной к-ты использованы для определения  $r_s$ -структурой  $C$  и  $T$  ротамеров, соотв.,  $r(C-H) = 1,104$  (3) и  $1,104$  (3) Å,  $r(C=O) = 1,203$  (3) и  $1,205$  (3) Å,  $r(C-S) = 1,771$  (3) и  $1,768$  (3) Å,  $r(S-H) = 1,335$  (2) и  $1,354$  (2) Å;  $\angle OCS = 122,5$  (3) $^\circ$  и  $125,9$  (3) $^\circ$ ,  $\angle HSC = 94,9$  (2) $^\circ$  и  $92,5$  (2) $^\circ$ ,  $\angle HCS = 114,4$  (2) $^\circ$  и  $111,0$  (2) $^\circ$ . Полученные структурные параметры согласуются с известными данными для 12 родственных молекул.

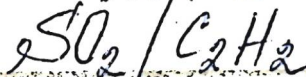
С. Н. Мурзин

70221.6676

58817 CR

1977

TC, Ch, MGR



#917084

Kelly Nelson, Mengler James F.,

Hedrick Julian. The photolysis of sulfur dioxide in the presence of foreign gases. VIII. Excitation of  $\text{SO}_2$  at 3600-4100 Å in the presence of acetylene.  
*J. Photochem.*, 1977, 6, N 3, 157-172

770 773

0816 MM ВИНИТИ

CH<sub>3</sub>COSH

BP-XIV-9574

1974

CH<sub>3</sub>COSD

8 Б174. Анализ микроволновых спектров тиоуксусной кислоты, CH<sub>3</sub>COSH и CH<sub>3</sub>COSD, по методу главных осей. Naito Takashi, Ohashi Osamu, Yamaguchi Ichiro. PAM analysis of the microwave spectra of thioacetic acid CH<sub>3</sub>COSH and CH<sub>3</sub>COSD. «J. Mol. Spectrosc.», 1977, 68, № 1, 32—40 (англ.)

Измерены в области частот от 8 до 34 ГГц МВ-спектры изотопич. образцов, CH<sub>3</sub>COSH (I) и CH<sub>3</sub>COSD (II), тиоуксусной к-ты. Анализ спектров выполнен с учетом взаимодействия внутреннего и полного вращения молекулы по методу главных осей. Для I и II, соотв., получены след. значения вращательных постоянных (в МГц) A=9913,29 (56) и 9662,80 (78), B=-4923,11 (23) и 4810,74 (26), C=3354,60 (24) и 3273,92 (18). Определены параметры внутреннего вращения. Для I и II, соотв., угол между главной а-осью и осью симметрии метильной группы равен θ=57,080 (30)° и 55,097 (24)° и величина барьера внутреннего

4010

I  
XIV

х, № 1948

вращения равна  $V_3 = 222,6$  (1,4) и  $212,9$  (1,4) кал/моль.  
Из изменения угла  $\theta$  при  $D$ -замещении сделан вывод  
о том, что SH-связь находится в транс-положении по  
отношению к метильной группе. По эффекту Штарка  
второго порядка для трех переходов определены ком-  
поненты дипольного момента  $\mu_a = 0,191$  (10)  $D$ ,  $\mu_b =$   
 $= 1,811$  (13)  $D$  и полный момент  $\mu = 1,821$  (13)  $D$ .

С. Н. Мурзин



$\text{CH}_3\text{CO}(\text{S})\text{H}$  ВР-XIV-9544 1977

Д378. Анализ микроволновых спектров тиоацетагной кислоты ( $\text{CH}_3\text{COH}$  и  $\text{CH}_3\text{COD}$ ) методом главных осей. Naito Takashi, Ohashi Osamu, Yamaguchi Ichiro. PAM Analysis of the Microwave Spectra of Thioacetic Acid,  $\text{CH}_3\text{COH}$  and  $\text{CH}_3\text{COD}$ . «J. Mol. Spectrosc.», 1977, 68, № 1, 32—40 (англ.)

В диапазоне 8—40 Гц исследованы микроволн. спектры молекул  $\text{CH}_3\text{COH}$  (I) и  $\text{CH}_3\text{COD}$  (II). Идентифицированы линии 45 вращательных переходов для I и 40 переходов для II с  $J \leq 9$  основного колебательного состояния и туннельное A—E-расщепления линий. Теоретич. анализ спектров выполнен по методу главных осей.

р: № 1978

по ф-лам Гершбаха для  $A-E$ -расщепления линий, полученным методом возмущений в 6-м приближении. Определены значения вращательных постоянных и параметров внутреннего вращения. Для барьеров внутреннего вращения I и II получены значения 222,6 и  $212,9 \pm 1,4$  кал/моль соответственно. Измерен также дипольный момент I:  $\mu_a = 0,191$ ,  $\mu_b = 1,811$ ,  $\mu_{общ} = 1,821 \pm 0,013$  ед. Дебая.

М. Р. Алиев

70525.6719

Kad, 9, 68161 P. синт

1977

Ch, Ph, TC

$\text{CH}_3\text{COSH}$

\* 4-18424

Bandopava H. S., Walter W., Neese

Claus O. Vibrational and NMR spectra of light and heavy  $\text{CH}_3\text{COSH}$  and  $\text{CD}_3\text{COSH}$  in relation to tautomerism and hydrogen bonding. "J. Mol. Struct.", 1977, 37, N 2, 187-192. (англ.)

ДЯЗЗ

846 850 8,84

зинити



1978

2 Д396. Микроволновый спектр, структура и дипольный момент 2-меркаптоэтанола: доказательство наличия внутримолекулярной водородной связи  $\text{OH} \dots \text{S}$ .

26.08.1978,  
и.н.

Sung Eun-Mo, Hartonu Marlin D. The microwave spectrum, structure, and dipole moment of 2-mercaptoethanol: evidence for an intramolecular  $\text{OH} \dots \text{S}$  hydrogen bond. «J. Amer. Chem. Soc.», 1977, 99, № 17, 5603—5608 (англ.)

В диапазоне 18—40 Гц исследованы микроволны, спектры пяти изотопич. разновидностей молекулы  $\text{HSCH}_2\text{CH}_2\text{OH}$ . По эффекту Штарка и методом двойного микроволни. резонанса идентифицированы линии вращательных переходов с  $J \leq 5$  в основном колебательном состоянии. Показано, что все наблюдаемые



Ф. 1978 № 2

линии относятся к гош-гош-гошизомеру 2-меркаптоэтанола. Определены значения вращательных постоянных, из которых вычислены некоторые из структурных параметров. В частности, для длин связей получены значения  $S-H=1,340$ ;  $O-H=1,015$ ;  $C-O=1,423$ ;  $C-C=1,538$ ;  $C-S=1,806$  Å. На основании полученных значений структурных параметров установлено наличие внутримолекулярной водородной связи  $OH \dots S$  в 2-меркаптоэтаноле с длиной  $H \dots S=2,565$  Å. Изменен также дипольный момент:  $\mu_a=0,619$ ,  $\mu_b=1,478$ ,  $\mu_c=0,965$ ,  $\mu_{общ}=1,871$  ед. Дебая.

М. Р. Алиев

оттиски 5755 1977

HSCH<sub>2</sub>CH<sub>2</sub>OH ЗБ393. Микроволновый спектр, структура и дипольный момент 2-меркаптоэтанола; доказательство существования внутримолекулярной водородной связи OH...S. Sung Eun-Mo, Hartonу Martin D. The microwave spectrum, structure, and dipole moment of 2-mercaptoethanol; evidence for an intramolecular OH...S hydrogen bond. «J. Amer. Chem. Soc.», 1977, august 17, 5603—5609 (англ.)

М. В. Секир  
Л. Н.

2, 1978, №3

$H_2CSO$

БР-XIV-8797

1977

- ) 17 Б32. Расчеты геометрии и электронного строения замещенных сульфинов неэмпирическим методом молекулярных орбиталей и методом ЧПДП. van Lierop Jan, van der Avoird Ad, Zwanenburg Binne. Ab initio and INDO molecular orbital calculations of the geometries and electronic structures of substituted sulfinates. «Tetrahedron», 1977, 33, № 5, 539—545 (англ.)

*Челегр.* Методом ССП МО ЛКАО и полуэмпирич. методом ЧПДП, рассчитаны дипольные моменты; распределения зарядов, потенциальные поверхности и др. св-ва молекулы сульфина  $H_2CSO$  (I) и 8 ее F- и Cl-моно- и дизамещенных. Неэмпирич. расчеты выполнены в расширенных базисах сгруппированных гауссовых ф-ций s- и p-типа. При расчете электронных спектров в приближении ЧПДП с учетом конфигурац. взаимодействия отбирались  $\leq 60$  наиболее низких по энергии однократно возбужденных конфигураций. Для всех 9 молекул проведена частичная оптимизация геометрии, в частности,

X. 1977 N17

валентного угла CSO. Согласие между вычисл. и имеющимися опытными данными по барьеру цис-транс-перехода в I, по дипольным моментам I и Cl<sub>2</sub>CSO плохое, что по мнению авторов, обусловлено малым размером базиса. Наиболее важным результатом расчета является обнаружение высокой локализации св-в атомов S и O: зарядовые распределения и потенциальные поверхности в окрестности группы SO не зависят ни от природы заместителей, ни от того, находятся ли они в цис- или транс-положении. Этот результат позволяет объяснить хим. поведение замещенных сульфинов. В. Г. Дащевский

зиса.

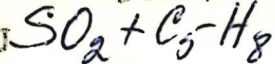
еншс.

70221.6678

58817 GR

1977

Ex-C, Ch, TC, MOU



X 5-17085

Wampler F.B. The photolysis  
 of  $SO_2$  at 3130 Å in the presence of  
 the 1,3-pentadienes. "J. Photochem.",  
 1977, 6, N 3, 183-192 (англ.)

8846

ВИНИТИ

770 773

1978

C-H-S-O

Учебное  
содержание

молекул.  
структур

| 10 Б73 К. Структура сульфоновых молекул. Конформации и геометрическое строение по данным газовой электронографии и микроволновой спектроскопии; структурные вариации. Sulphone molecular structures. Conformation and geometry from electron diffraction and microwave spectroscopy; structural variations. Nagyittai István. Berlin e. a., Springer, 1978. VIII, 175 pp., ill. (Lect. Notes Chem.. Vol. 6). (англ.)

Систематизированы и критически рассмотрены известные данные о строении молекул сульфоновых соединений, полученные методами газовой электронографии и микроволновой спектроскопии. В рамках моделей отталкивания валентных электронных пар и несвязанных

Х.1981.110

взаимодействий обсуждены наблюдаемые в сульфонах  
характеристич. структурные вариации (конформац.  
св-ва, характеристич. вариации валентных углов и длин  
связей), а также корреляции между геометрич. и коле-  
бательными параметрами групп  $\text{SO}_2$ . Проведено сопо-  
ставление со структурными св-вами сульфоксидов и  
сульфидов.

Е. Розенберг

$(CH=CH_2)_2SO$

1978

12 Д507. Определение молекулярного строения дивинилсульфона методами колебательной спектроскопии, дифракции электронов и полуэмпирическими CNDO/2 расчетами молекулярных орбиталей. Hargittai István, Rozsondai Béla, Nagel Bertram, Bulcske Petra, Robinet Germaine, Labarre Jean-François. Molecular structure of divinyl sulfone as studied by electron diffraction, vibrational spectroscopy, and semiempirical CNDO/2 molecular orbital calculations. «J. Chem. Soc. Dalton Trans.», 1978, № 7, 861—868 (англ.)

Молекул.  
Составлен  
И. В. Смирнов

Изучены ИК-спектры ( $3300—400\text{ см}^{-1}$ ) газообразного, кристаллического (при  $T = 120^\circ\text{K}$ ), жидкого дивинилсульфона (I), переохлажденного жидкого I и растворов I в  $CCl_4$ , а также спектры комб. рас. кристаллического, жидкого и переохлажденного жидкого I при возбуждении излучениями аргонового и Не—Не-лазеров. Определены межатомные расстояния в I методом дифракции электронов. Выполнены полуэмпирические расчеты молекулярных орбиталей I. Показано, что в газообразном, жидком и переохлажденном жидком состояниях существует не менее двух конформаций I, тогда как в кристаллич. фазе стабилен лишь 1 изомер I. Библ. 45.

И. В. А.

9.12.1978, № 2

Однотипные  
данные

H<sub>2</sub>S + H<sub>2</sub>CO Lommel 7259 | L 1978

Kouneike

Nelander B.

Cueris  
Brattvære  
Ar.

J. Mol. Struct.,  
1978, 50, 223 - 32.

$\text{CH}_3\text{OSO}_2\text{F}$  | Omniweek 7340 | 1978

Кристалл  
номенклатура.  
Физико-  
химическое  
изучение.

Rajappan Nair K. P.  
Indian J. Pure  
and Appl. Phys.  
1978, 16, 586-89

HCOSCH<sub>3</sub>  
CCOOCH<sub>3</sub>

7 Б55. Анализ в нормальных координатах, термодинамические функции и расчеты по методу ППДП/2 для ряда алкилформиатов. R a n d h a w a H. S. Normal coordinate analysis, thermodynamic functions and CNDO/2 calculations on some alkylformates. «Z. Phys. Chem.» (BRD), 1978, 109, Teil 1, 1—7 (англ.)

1978

С помощью итерац. процедуры определено силовое поле метилтионформиата в приближении Юри — Бредли — Шиманоучи. Исходная силовая матрица составлена из силовых постоянных тиоформальдегида, тиоловых к-т, муравьиной к-ты, уксусной к-ты и др. родственных молекул. Решена прямая колебательная задача для метилтионформиата и выполнено отнесение частот колебаний. Рассчитаны значения энталпии, энергии образования, энтропии и теплоемкости в интервале 100—1500 К для метилтиолформиата, метилхлорформиата и метилтионформиата. Проведена оценка частот вал. кол. карбонильной группы в молекулах CICOOCН<sub>3</sub>, HCOOCH<sub>3</sub> и Н<sub>3</sub>CCOOCH<sub>3</sub> с помощью расчетов энергий по методу ППДП/2. Полученные результаты сопоставлены с эксперим. данными. С помощью полученных результатов дано объяснение повышения частоты вал. кол. карбонильной группы в галогенированном формиате.

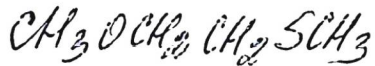
Ю. Н. Панченко

Д. Сид.  
пост; Т. З. оп.

(+) 8

№ 194917

1978



Shimamoto T.  
et al.



н.г.п.

Мадисон Уэйнсис,  
Модель с. конденсации  
тест. г.

(ii)

J. Phys. and Chem. Ref. Data  
1978, 7(7) 1823-1443.

See. Мадисон; 14)

отмсси 9037

1979

$H_2CO \cdot H_2S$

12 Б71. Неэмпирические расчеты молекулярных орбиталей Н-связанных комплексов и комплексов, не содержащих Н-связи.  $H_2CO \cdot H_2O$  и  $H_2CO \cdot H_2S$ . Ahlström M., Jönsson B., Karlström G. Ab initio molecular orbital calculations on hydrogen- and non-hydrogen-bonded complexes.  $H_2CO \cdot H_2O$  and  $H_2CO \cdot H_2S$ . «Mol. Phys.», 1979, 38, № 4, 1051—1059 (англ.)

кв. № 28,  
расчет

Неэмпирическим методом ССП МО ЛКАО проведены расчеты комплексов  $H_2CO \cdot H_2O$  (I) и  $H_2CO \cdot H_2$  (II). Использованы два типа базисных наборов ГФ: 1) малый базис ( $10s/6p$ ) для S, ( $7s/3p$ ) для C(O) и ( $4s$ ) для H и 2) расширенный базис ( $12s/9p/1d$ ), сгруппированный в ( $7s/5p/1d$ ), ( $9s/5p/1d$ ), сгруппированный в ( $5s/3p/1d$ ) и ( $5s/1p$ ), сгруппированный в ( $2s/1p$ ), соответственно, для S, O(C) и H. Для I и II рассмотрено по 6 конформаций, одна из к-рых Н-связанная. Варьировали два парамет-

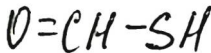


2: 1980. N 2

ра — расстояние между тяжелыми атомами и угол, характеризующий взаимную ориентацию мономеров. Найдено, что в I и II H-связанные конфигурации наиболее стабильны. Энергия образования наиболее стабильной конфигурации I ( $\Delta E$ ) на 10 кДж/моль выше, чем соответствующая  $\Delta E$  II. Проведены оценки вклада дисперсионной компоненты  $E_d$  в энергию межмолекулярную взаимодействия и показали, что у II величина  $E_d$  такого же порядка, что и  $\Delta E$ .

Э. Герман:

отмечен 8904



моделью  
гомологов

Б

6 Б93. Потенциал вращения вокруг связей  
 $C(sp^2)-S$ : электронографические результаты для  
 $O=C(SCH_3)_2$  и неэмпирические расчеты  $O=CH-SH$   
и  $S=CH-SH$ . Auberg E., Samdal S.,  
Seip H. M. Potential for rotation about  $C(sp^2)-S$   
bonds: electron-diffraction results for  $O=C(SCH_3)_2$   
and ab initio calculations on  $O=CH-SH$  and  $S=$   
 $=CH-SH$ . «J. Mol. Struct.», 1979, 57, 95—104 (англ.)

Методом газовой электронографии изучена структура молекулы  $O=C(SCH_3)_2$  (I). Полученные данные согласуются с предположением о существовании син-син-конформера I. Найдены след. значения для наиболее важных межъядерных расстояний ( $r_a$ , Å) и углов:  $C=O$  1,206(4),  $C_{\text{карб}}-S$  1,777(3),  $C_{\text{Me}}-S$  1,802(4),  $\angle OCS$  124,9(2),  $\angle CSC$  99,3(4)°. В результате неэмпирич. расчетов методом MO ССП молекул  $O=CH-SH$  и  $S=CH-SH$  установлено, что минимумы энергии отвечают син- и анти-конформерам, соответственно.

В. Спиридоно

2.1980.16

сммрел 7908

1979

HCO<sub>3</sub><sup>-</sup>

HCO<sub>3</sub>H

расчеты ΔE,  
геометрические  
изменения  
молекул

16 Б62. Электронные и геометрические перестройки в процессе протонирования. Неэмпирическое изучение аниона монотиоформиата. El Ouadi S., Dargelos A., Chaillat M. Electronic and geometric rearrangements in the protonation process. An ab initio study of the monothioformate anion. «Chem. Phys. Lett.», 1979, 62, № 1, 166—172 (англ.)

Выполнены неэмпирич. расчеты аниона монотиофор-

☒

ате.  
I am

X. 1979, N 16

миата HCOS- (I), а также цис-, транс- и гош-конформации как тиольной, так и гидроксильной форм тиомуравиной к-ты HCOSH (II). В расчетах применяли стандартные базисы типа ОСТ-ЗГФ, 4-31ГФ и ОСТ-ЗГФ, дополненный поляризац. функциями (ПФ) *d*-типа на атоме серы. Геометрия всех изученных систем оптимизирована в базисе ОСТ-ЗГФ. Расчет в базисе ОСТ-ЗГФ показывает в согласии с экспериментом, что тиольная форма стабильнее гидроксильной; разность их энергий найдена равной 11,5 ккал/моль. Введение ПФ слабо влияет на этот результат, давая 14,4 ккал/моль. Однако расчет в базисе 4-31ГФ приводит к противоположному выводу. Найдено, что как тиольная, так и гидроксильная формы II более стабильны в транс-конформации. Энергия активации процесса транс→цис-изомеризации тиольной формы найдена равной 7,4 ккал/моль в базисе ОСТ-ЗГФ; расширение базиса мало влияет на этот результат. Цис-тиольная форма по сравнению с транс-тиольной менее стабильна на 1,8 ккал/моль. Проведено разделение общей энергии протонирования I на вклады — электростатич., поляризац., переноса заряда и геометрич. перестройки. Найдено, что решающее значение имеют последние три вклада и это объясняет неспособность метода электростатич. потенциала предсказать направление протонирования I.

H<sub>2</sub>COS

Октябрь 1979

1979

9 Д176. Электронная и геометрическая перегруппировка в процессе протонирования. Неэмпирическое изучение аниона монотиоформиата. El-Ouadi S., Dargelos A., Chaillat M. Electronic and geometric rearrangements in the protonation process. An ab initio study of the monothiosulfate anion. «Chem. Phys. Lett.», 1979, 62, № 1, 166—172 (англ.)

Неэмпирическим методом ССП рассчитана геометрич. и электронная структура шести изомеров H<sub>2</sub>COS, отличающихся положением протона вблизи аниона HCOS<sup>-</sup>. Расчеты проводились с тремя базисными наборами гауссовых ф-ций: СТО-3G, 4-31G и СТО-3G, дополненном поляризующими d-ф-циями на атоме серы. При анализе результатов использовалось разложение энергии взаимодействия на отдельные вклады: потенц. энергии, поляризации, переноса заряда, геометрич. релаксации. Найдено, что при использовании базиса СТО-3G более устойчивой

106. неех.  
расчет

Ф.1979.19

оказывается тиоловая форма  $\text{H}_2\text{COS}$ , что находится в соответствии с эксперим. данными, тогда как расчеты в базисе 4-31G в качестве более устойчивой дают гидро-ксоформу. Транстиолизомер на 1,8 ккал/моль устойчивее цистиолизомера. Проанализирована роль различных вкладов в энергию взаимодействия в процессе протонирования аниона  $\text{HCOS}^-$  при атаке протона со стороны серы и со стороны атома кислорода.

В. И. Барановский

1979

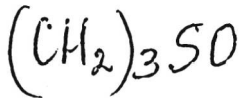
$(CH_2)_3SO$

6 Д365. Неплоские деформационные колебания кольца триметиленсульфоксида. The ring puckering vibration of trimethylene sulfoxide. Far-infrared spectrum from 50 to  $675 \text{ cm}^{-1}$ . Duckett J. A., Smithson T. L., Wieser H. «J. Mol. Spectrosc.», 1979, 78, № 3, 407—414 (англ.)

Получены спектры ИК-поглощения паров триметиленсульфоксида в области  $100—700 \text{ см}^{-1}$  с разрешением  $1,2 \text{ см}^{-1}$  при т-ре  $50^\circ\text{C}$  в слоях до 19 м. Приведены спектры. Группа линий в области  $100—170 \text{ см}^{-1}$  интерпретированы как совокупность Q-ветвей, соответствующих переходам между уровнями неплоских деф. кол. кольца молекулы. По их частотам определены 3 параметра потенц. ф-ции этих колебаний. Обсуждается форма потенц. ф-ции. Библ. 12.

М. Т.

Ф 1980 № 6



10 Б243. Неплоские деформационные колебания кольца триметиленсульфоксида. Длинноволновой инфракрасный спектр от 50 до  $675 \text{ см}^{-1}$ . Duckett J. A., Smithson T. L., Wieser H. The ring puckering

$\mu, \eta$

vibration of trimethylene sulfoxide. Far-infrared spectrum from 50 to  $675 \text{ см}^{-1}$ . «J. Mol. Spectrosc.», 1979, 78, № 3, 407—414 (англ.)

На ИК-спектрометре интерференц. типа в области частот от 50 до  $675 \text{ см}^{-1}$  с разрешением  $1,2 \text{ см}^{-1}$  измерен спектр паров триметиленсульфоксида для колебательных состояний  $\Delta\nu_p=1$  и  $\Delta\nu_p=2$  неплоских деф. кол. кольца. При анализе спектра использован гамильтон

Х. 1980. N 10

тониан, в к-ром потенциальная ф-ция деф. кол. кольца представлена в виде полинома 4-й степени от одной безразмерной нормальной координаты. В модели не учитывается вклад метиленовых групп в деформацию кольца. Для приведенных значений параметров потенциала  $v_2 = 154,18$  (38),  $v_3 = -29,008$  (275),  $v_4 = -1,4824$  (263)  $\text{см}^{-1}$  величина инверсионного барьера между стабильным экваториальным и возможным аксиальным конформерами составляет  $1205,6$  (11,4)  $\text{см}^{-1}$ . Глубина аксиальной потенциальной ямы при этом не превышает  $145,9$  (9,5)  $\text{см}^{-1}$ , достигая возможного миним. значения  $5,00$  (0,83)  $\text{см}^{-1}$ . Исходя из этих данных, двугранный угол для аксиального конформера м. б. оценен, как принимающий значения в области от  $15$  до  $5^\circ$ . Вычисленное значение приведенной массы близко к соотв-щим величинам для циклобутана и триметиленоксида.

С. Н. Мурзин

H<sub>2</sub>CSO

XIV-9162

1979

91: 65495p Infrared spectra of matrix-isolated sulfine.  
Powers, D. E.; Arrington, C. A.; Harris, W. C.; Block, E.;  
Kalasinsky, V. F. (Dep. Chem., Furman Univ., Greenville, SC  
29613 USA). *J. Phys. Chem.* 1979, 83(14), 1890-2 (En.).  
The highly reactive sulfine mol., H<sub>2</sub>CSO, was trapped in an Ar  
matrix at 18 K and studied in the IR region. Sulfine was  
generated by the vacuum pyrolysis of 1,3-dithietane-1-oxide or  
allyl Me sulfoxide at 350°. The IR absorptions due to sulfine  
were identified by comparing the spectra obtained from the 2  
pyrolysis reactions and by observing the temp. dependence of the  
spectral features. The data are consistent with previous studies  
of sulfine, and a complete vibrational assignment is proposed.

O. -  
Dr. -  
Received  
8 December

CA 1979 9162

XIV-9162 1979

$H_2CSO$

( $\nu_i$ )  
спектр  
в матрице

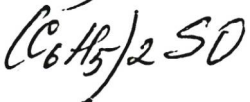
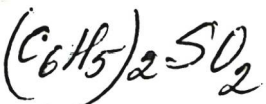
1 Б209. Инфракрасный спектр молекулы сульфина, изолированной в матрице. Powers D. E., Argington C. A., Haggis W. C., Block E., Kalasinsky V. F. Infrared spectra of matrix-isolated sulfine. «J. Phys. Chem.», 1979, 83, № 14, 1890—1891 (англ.)

В области 4000—200  $\text{см}^{-1}$  измерены ИК-спектры неустойчивой молекулы сульфина  $H\text{-CSO}$  (I), получающегося при пиролизе ( $350^\circ$ ) 1,3-дитиетан-1-оксида или аллилметилсульфоксида и изолированного при 18 К в аргоновой матрице. Выполнен расчет нормальных колебаний I и предложено отнесение полос зарегистрированного ИК-спектра к этим типам колебаний:  $\nu_1 = 3013 \text{ см}^{-1}$  и  $\nu_2 = 2960 \text{ см}^{-1}$  (антисимм. и симм. вал. кол.  $\text{CH}_2$ ),  $\nu_3 = 1395 \text{ см}^{-1}$  (ножн.-кол.  $\text{CH}_2$ ),  $\nu_4 = 1357 \text{ см}^{-1}$  и  $\nu_5 = 1165 \text{ см}^{-1}$  (антисимм. и симм. вал. кол. CSO),  $\nu_6 = 1055 \text{ см}^{-1}$  (маяти. кол.  $\text{CH}_2$ ),  $\nu_7 = 394 \text{ см}^{-1}$  (плоскостное деф. кол. CSO),  $\nu_8 = 972 \text{ см}^{-1}$  (внеплоскостное крут. кол.  $\text{CH}_2$ ),  $\nu_9 = 767 \text{ см}^{-1}$  (веерн. кол.  $\text{CH}_2$ ). Первые семь кол. частот относятся к типу  $A'$ , последние две — к типу  $A''$ .

Ю. Удачин

з. 1080.11

1979



*диссерт.  
структур*

7 Б77. Исследование молекулярной структуры дифенилсульфона и дифенилсульфоксида методом газовой электронографии. Rozsondal Béla, Mooge Jack H., Gregory Donald C., Hargittai Istvan. Gas electron diffraction study of the molecular structure of diphenyl sulphone and diphenyl sulphoxide. «J. Mol. Struct.», 1979, 51, № 1, 69—76 (англ.)

Методом газовой электронографии изучена структура молекул  $(C_6H_5)_2SO_2$  (I) и  $(C_6H_5)_2SO$  (II). Найдены след. значения межъядерных расстояний ( $r_s$ , Å): I C—C 1,400 (3), C—H 1,100 (II), S—C 1,772 (5), S=O 1,440 (5); II C—C 1,398 (3), C—H 1,105 (11), S—C 1,804 (6), S=O 1,489 (5). Относительно валентных углов и конформаций I и II получена лишь ограниченная информация.

В. Спиридонов

2: 1979/17

$\text{CH}_3-\text{SCOS}$

Lommel 93631 1979

S-methyl dithiocarbonate  
S ion  $\text{III}^-$

Tantayak N.  
et al.

$\text{CH}_3-\overset{\text{S}}{\underset{\text{C}}{\text{S}}}-\text{C}-\text{S}$

methyl dithiocarbonate

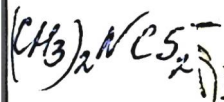
Proc. Indian Acad.  
Sci., 1979, A 88, (6).

454-63

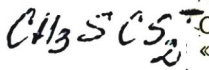
(vi) Infrared spectra and normal  
vibrations of ...



1980



20 Б49. Изучение методами ППП и ППДП анионных производных дитиоугольной кислоты. Bhasu V.C. Jyothi, Sathyapagaya D. N. A PPP and



CNDO study of dithiocarbonic anionic derivatives.  
«Phosph. and Sulfur», 1980, 8, № 2, 171—175 (англ.)

Полуэмпирическим методом ППДП/2 с учетом 3d-орбиталей серы рассчитаны анионы метилксантогенат  $\text{CH}_3\text{OCS}_2^-$  (I), N,N-диметилдитиокарбамат  $(\text{CH}_3)_2\text{NCS}_2^-$  (II) и метилтритиокарбонат  $\text{CH}_3\text{SCS}_2^-$  (III). Геометрия I—III взята из эксперим. данных. Вычислены и табулированы  $\sigma$ - и  $\pi$ -электронные заселенности атомов. Найдено, что отриц. заряд в анионах I—III сосредоточен в основном на атомах серы группировки  $\text{CS}_2^-$  и притом на их  $\pi$ -орбиталях. Указанные атомы S являются  $\pi$ -акцепторами и в то же время  $\sigma$ -донора-

кв. меж.  
расст

(+)

рдк N20

ми. Анализ  $\pi$ -порядков связей I—III показывает, что вес резонансной структуры с двойной связью  $C=X(CH_3)_n$  ( $X=O, N, S$ ) падает в ряду II>I>III параллельно уменьшению  $\pi$ -донорной способности X. Методом ППП с ограниченным конфигурац. взаимодействием рассчитаны энергии и силы осцилляторов синглетсинглетных переходов I—III. При этом одноцентровые остоявные интегралы были скорректированы на основании результатов расчетов по методу ППДП/2. Полученные данные позволяют произвести отнесение большинства наблюдаемых в электронных спектрах солей I—III высоконитенсивных полос поглощения.

В. Я. Беспалов

оттиска 10412

1980

$CF_3SCl$

$SCl_2$

1) 8 Б212. Колебательные спектры и гармонические силовые поля  $CF_3SCl$  и  $SCl_2$ . Bielefeldt D., Willinger H. Schwingungsspektren und harmonische Kraftfelder von  $CF_3SCl$  und  $SCl_2$ . «Spectrochim. acta», 1980, A36, № 11, 989—995 (нем.; рез. англ.)

Измерены ИК-спектры ( $2500—30\text{ см}^{-1}$ )  $CF_3SCl$  (I) в газ. фазе и в Ar и Ne матрицах и спектры КР жидкости и кристалла. Изучен ИК-спектр  $SCl_2$  (II) в Ne матрице, а также ИК- и КР-спектры изотопозамещенных I и II по S и Cl ( $^{34}S$  и  $^{35}Cl$ ). Дано отнесение колебаний I (симметрия  $C_s$ ) на основании поляризации линий КР, контуров ИК-полос в газ. фазе, изотопич. сдвигов, анализа спектров обертонов и составных тонов и аналогии с  $COF_2$ ,  $CF_3Cl$  и  $CF_3Br$ . К  $\nu(S-Cl)$  отнесена полоса  $540\text{ см}^{-1}$ , к  $\nu(CS)$  —  $459\text{ см}^{-1}$ . Проведен расчет частот и форм нормальных колебаний I и II и вычислены гармонич. силовые постоянные в валентно-силовом поле.  $K(CS)=3,21$ , а  $K(S-Cl)=2,99 \cdot 10^2\text{ Н/м}$ . Рассчитаны термодинамич. функции I в интервале т-р  $252,3—1000\text{ К}$  Е. Разумова

$I_1$ ; суп. нот.

m. g. 90.

(+2)

(+1)

$SCl_2$

X. 1981 N 8

$\text{CH}_3\text{SO}_2$ <sup>+</sup>  
(таганай)  
кв. нех.  
пакет  
номер.  
н. срок.

Оммек 9690) 1980  
Boyd R. J. et al  
Can. J. Chem. 1980, 58,  
N 4, 331-8



Al<sub>2</sub>MSO<sub>4</sub><sup>+</sup><sup>III</sup>

*CICOSCH<sub>3</sub>*

1480

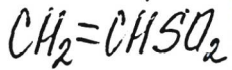
17 Б318. Барьер внутреннего вращения метильной группы и постоянные квадрупольного взаимодействия в S-метилхлортиоформиате. *Caminati W., Bohn R. K., True N. S.* Methyl barrier to internal rotation and quadrupole coupling constants in S-methylchlorothioformate. «J. Mol. Spectrosc.», 1980, 84, № 2, 355—361 (англ.)

Измерены в области частот 8—40 ГГц МВ-спектры двух изотопич. образцов S-метилхлортиоформиата, <sup>35</sup>CICOSCH<sub>3</sub> (I) и <sup>37</sup>CICOSCH<sub>3</sub> (II), в основном колебательном состоянии. Анализ спектров выполнен в приближении жесткого волчка с учетом *A*—*E* расщепления переходов из-за внутреннего вращения метильной группы и Cl-ядерного квадрупольного взаимодействия. Для I и II, соотв., вращательные постоянные равны (в МГц) *A*=6986,1(3) и 6971,6(5), *B*=2033,35(1) и 1979,57(1), *C*=1590,28(1) и 1556,45(1) и барьеры внутреннего вращения *V*<sub>3</sub>=893,0(20) и 890,0(20) кал/моль. В предположении, что главная квадрупольная *z*-ось направлена вдоль связи С—Cl, определены постоянные квадрупольного взаимодействия для I и II, соотв. (в МГц):  $\chi_x = -40,1$  и  $32,1$ ,  $\chi_z = -66,9$  и  $-52,8$ . Полученные МВ-данные отнесены к син-конформации молекулы.

*Чо; М.Н.*

*X.1981 N 17*

С. Н. Мурзин



6 Б269. Исследования структур и конформаций. 14.  
Расчеты методом ЧПДП и электронный парамагнитный  
резонанс алифатических сульфонильных радикалов.

*Chatgilialoglu Chrysostomos, Gilbert Bruce C., Norman Richard O. C.* Investigations of structure and conformation. Part 14. INDO and electron spin resonance studies of aliphatic sulphonyl radicals. «J. Chem. Soc. Perkin Trans.», 1980, Part 2, № 10, 1429—1436 (англ.)

*Молекулярная  
структурология*

При т-рах —30 — 130° С исследованы спектры ЭПР ряда алифатич. сульфонильных радикалов  $\text{RSO}_2$ , полученных фотолизом р-ров, содержащих перокись ди-трет-бутила, триэтилсилан и сульфонилхлориды. Определены константы СТС от  $\alpha$ - и  $\beta$ -протонов ( $\text{C}_\beta - \text{C}_\alpha - \text{SO}_2$ ). Для нек-рых радикалов обнаружен эффект уширения линий ЭПР при понижении т-ры, обусловленный затрудненным внутренним вращением. На основе анализа эксперим. данных определены особенности конформаций полученных радикалов. Сделанные выводы подтверждены результатами квантовохимич. расчетов, выполненных методом ЧПДП. С помощью данных ЭПР определены особенности структуры нек-рых новых алкеносульфонильных радикалов ( $\text{CH}_2=\text{CHSO}_2$  и т. д.). Сообщ. 13 см. *Gilbert B. C., Gill B., J. Chem. Soc. Perkin Trans.*, 1979 II 773.

C-H-S-O

1980

11Б50. Структура сульфоксидных молекул. Nag-gittai István. Szulfoxidmolekulák szerkezete. «Kém. közl.», 1979 (1980), 52, № 3—4, 473—490 (венг.; рез. англ.)

Обзор структурных данных для свободных молекул с трехкоординированным атомом серы и терминальной связью сера—кислород, включающих симметрично замещенные сульфоксиды и циклич. сульфиты. Рассмотрены также аналогичные соединения селена. Показано, что геометрич. вариации конфигурации связей серы в сульфоксидах можно интерпретировать в рамках модели отталкивания валентных электронных пар. Длина нескольких связей S=O и Se=O оценена при помощи эмпирич. соотношений, установленных между геометрич. и колебательными параметрами. Библ. 67. Резюме

обзор.



1980

21 Б225. Спектры комбинационного рассеяния и конформация метокси(метилтио)-метана. Matsuura Hiroatsu, Kimura Keiko, Murata Hiromi. Raman spectra and conformation of methoxy(methylthio)-methane. «J. Mol. Struct.», 1980, 64, 281—284 (англ.)

Исследованы спектры КР метокси(метилтио)-метана  $\text{CH}_3\text{OCH}_2\text{SCH}_3$  (I) в жидким ( $T$  от 20 до  $-40^\circ$ ), стеклообразном (неотожженном) и кристаллическом состояниях ( $T=77 \text{ K}$ ). Проведен расчет частот нормальных колебаний I, силовые постоянные выбраны такими же, как для алкиловых эфиров и сульфидов, расчет проводили для различных конформаций I. Сравнение результатов теоретических расчетов с экспериментальными показывает, что в тв. и стеклообразном состоянии I находится в гош-гош-конформации. Полосы  $685$  и  $734 \text{ см}^{-1}$  отнесены к симм. и антисимм. вал. кол. связей C—S соотв. Отмечено сильное взаимодействие этих колебаний с вал. кол. связей  $\text{CH}_2\text{—S}$  и  $\text{S—CH}_3$ . В жидким состоянии появляются доп. линии с частотами  $786$ ,  $708$  и  $408 \text{ см}^{-1}$ , к-рые отнесены к колебаниям транс-гош-изомера. А. В. Бобров

спектр К.В.

Д.г. М.Н.

X. 1980 № 21

$(CH_3O)_2SO$  Lommelae 10020 | 1980

Poole's D; Elson H.B.

Guccia  
Ciliata

S-O

J. Chem. Phys., 1980,  
73 (5), 2241-229

1980

C-H-O-S-содин.

} 12 Д497. Строение и колебательные спектры этилтионформиата. Structure and vibrational spectra of ethylthionformate. Randhawa H. S., Grewal G. S., Agoga C. L., Sarin V. N. «Indian J. Pure and Appl. Phys.», 1980, 18, № 11, 926—928 (англ.)

$D_4$ , геометр. Получены ИК-спектры ( $4000-400 \text{ см}^{-1}$ ) газообразного этилтионформиата (I), а также поляризационные спектры комб. рас. жидкого I при возбуждении лазерной линией  $514,5 \text{ нм}$ . Проведен анализ колебательных спектров I в группе симметрии  $C_s$ , для цисконфигурации I. Интерпретация колебательных полос в спектрах I выполнена с учетом положения полос аналогичных колебаний в спектрах метилтионформиата и ряда эфиров. Интенсивная линия  $1015 \text{ см}^{-1}$  в спектре комб. рас. I сопоставлена вал. кол. связи  $C=S$ . Обсуждены возможные конфигурации молекул I в жидкой и газообразной фазах. Предположено, что молекулы I имеют

Ф. 1981, 18, N 12.

плоскую или почти плоскую конфигурацию, при которой величина барьера вращения этильной группы составляет 0,45 ккал/моль. Сделан вывод, что величина барьера вращения этильной группы в I обусловлена эффектами гиперсопряжения  $\pi$ -орбиталей кольца и 1s-орбиталей атомов водорода метиленовой группы.

И. В. А.

е п,

5/CHUCH  
2/2004  
2/2004

$C_6H_4SO_3$

Commix 15339

1980

некоторые  
сингапура-  
ции,  
сингапура

Schultz G.,  
Hargittai I.,  
Ken. Zool., 1980,  
54, 276 - 282.

$(CH_2)_3SO$

отмечек 9916

1980

иб. иск.  
раски

✓ 22 Б58. Теоретическое изучение молекулярной структуры триметиленсульфоксида и анализ локальной симметрии метиленовых групп. Skancke Per N., Bogggs James E., Bevan John W. A theoretical study of the molecular structure of trimethylene sulfoxide with emphasis on the local symmetry of the methylene groups. «Acta chem. scand. A: Phys. and Inorg. Chem.», 1980, 34, № 3, 223—227 (англ.)

X. 1980 N 22

(e) F

Выполнен неэмпирич. расчет с полной оптимизацией геометрии экваториальной формы триметиленсульфоксида  $\text{CH}_2\text{CH}_2\text{CH}_2\text{S}\rightarrow\text{O}$ . (I). Использовались базисы: для атомов C, O—4—21ГФ, для атома S—3—3—21ГФ, дополненный набором поляризац. *d*-АО. Расчетные длины связей и валентные углы хорошо согласуются с экспериментальными. Расчетный угол сморщивания цикла ( $32^\circ$ , 8) также очень близок к эксперим. величине  $34^\circ$ , 9. Найдено, что метиленовые группы I деформированы, при этом результаты расчета позволяют сделать выбор между двумя альтернативными эксперим. наборами параметров искажения. Канонич. MO I преобразованы к локализованным (ЛМО) согласно критерию Бойза. Найдено, что центроиды ЛМО связей C—C и особенно C—S смещены и находятся не на прямых, соединяющих соотв. ядра, а снаружи от них. При этом центроиды ЛМО связей C—C лежат в плоскости CCC, а связей C—S — смещены из плоскости CSC в сторону атома O. Указанные эффекты обсуждаются в связи с принципом миним. извилистости связей.

В. Я. Беспалов

$\text{CH}_3\text{SOCH}_3$

1980

Tanabe Kazutoshi, et al

Chem. Phys. lett., 1980,  
71, N3, 460-62.

Vi, мепана  
насос

(see  $\text{CH}_3\text{SOH}$ ) III

HCOSH

Файл № 10164

1980

23 Б193. Колебательный спектр, силовое поле и торсионная потенциальная функция монотиомуравьиной кислоты в газовой фазе. Winniewisser B. P., Hocking W. H. Vibrational spectrum, force field, and torsional potential function of monothioformic acid in the gas phase. «J. Phys. Chem.», 1980, 84, № 14, 1771—1782 (англ.)

Сил. № СГ.  
Погреш. ф-ции  
И. К. Смирнов  
15.11.11.

Измерены ИК-спектры со средн. разрешением молекул HCOSH (I),  $\text{H}^{13}\text{COSH}$ ,  $\text{HC}^{18}\text{OSH}$ , DCOSH и HCOSD в газовой фазе. На основании найденных изотопных сдвигов и сопоставления со спектрами родственных молекул дано отнесение наблюдаемых полос поглощения к плоским транс- и цис-конфигурациям молекулы I. Из эксперим. частот колебаний, исправленных на ангармоничность, и данных по постоянным центробежного искажения (с учетом измерений для молекулы  $\text{HCO}^{34}\text{SH}$ ) с помощью МНК с регуляризацией рассчитаны наборы

Х. 1980 № 23

силовых постоянных для двух форм молекулы I в приближении общего валентно-силового поля. Решены прямые колебательные задачи и исследовано влияние геометрии на рассчитываемые частоты колебаний для данного силового поля. Показано, что значения силовых постоянных существенно зависят от используемой модели. По торсионным частотам двух конформеров и разности между их уровнями энергии в основном состоянии, найденными ранее из вращательного спектра, определены первые три коэф. в косинусоидальном разл. одномерного торсионного потенциала. Обсуждены потенциальные ф-ции ряда родственных молекул.

Ю. Н. Панченко

дн.

1980

MCOSH

12 Д436. Колебательный спектр, силовое поле и потенциальная функция крутильного колебания монотиомуравьиной кислоты в газовой фазе. Vibrational spectrum, force field, and torsional potential function of mono-thioformic acid in the gas phase. Winnewisser B. P., Hocking W. H. «J. Phys. Chem.», 1980, 84, № 14, 1771—1782 (англ.)

И. К. Смирнов

И. Н. Иоаннисян

Ф. 1980  
N 12

Получены ИК-спектры (4000—200 см<sup>-1</sup>) пяти изотопич. аналогов (<sup>13</sup>C, <sup>18</sup>O, D) монотиомуравьиной кислоты (I) в газовой фазе. Идентифицированы ИК-полосы цис- и транс-ротамеров I. Выполнен расчет констант валентного силового поля и определены значения постоянных центробежного искажения перечисленных изомеров I. Обсуждены корреляции между структурой изомеров I и величиной барьера внутреннего вращения вокруг связи C—S в I. Потенциалы  $V_1$  и  $V_2$  крутильного колебания в I составляют 2,86 и 40,77 кДж/моль соответственно. Отмечено подобие потенц. ф-ций крутильного колебания в молекулах I и муравьиной кислоты. Предположено, что величина потенц. барьера крутильного колебания в изомерах I отражает степень сопряжения в области связи C—S и меру стабилизации плоских конформаций I. Библ. 41.

И. В. А.

10/16/80

Мартынова

1981

# C-H-O-S-состин.

12 Д481. Микроволновый спектр, конформация и дипольный момент 4-тиациклогексанона. Microwave spectrum, conformation, and dipole moment of 4-thiacyclohexanone. Alonso José L. «J. Mol. Spectrosc.», 1981, 87, № 1, 110—118 (англ.)

В диапазоне 18—40 ГГц исследован микроволновый спектр молекулы 4-тиациклогексанона. Методами двойного РЧ—МВ-резонанса и штарковской модуляции идентифицированы линии вращательных переходов с  $J \leq 14$  в основном состоянии и в шести низколежащих возбужденных состояниях изгибающего и крутильного колебаний кольца. Наблюдаемый спектр соответствует креслообразной конформации кольца. Определены значения вращательных постоянных, постоянных квартичного центробежного искажения и дипольного момента ( $\mu_a = 1,409$ ,  $\mu_c = 0,391$  ед. Дебая). По относит. интенсивности линий основного и возбужденных состояний оценены частоты изгибающего ( $77 \text{ см}^{-1}$ ) и крутильного ( $204 \text{ см}^{-1}$ ) колебаний кольца.

М. Р. Алиев

микроволн.  
спектр, vi

д. 1981, 18, № 12.

C-H-S-O-*согрч*

1981

24 Б285. Микроволновый спектр, конформация и дипольный момент 4-тиациклогексанона. Alonso J. L. Microwave spectrum, conformation, and dipole moment of 4-thiacyclohexanone. «J. Mol. Spectrosc.», 1981, 87, № 1, 110—118 (англ.)

Измерен в области частот 18,0—40,0 ГГц МВ-спектр 4-тиациклогексанона в основном и восьми возбужденных колебательных состояниях. При идентификации МВ-переходов использован метод РЧ—МВ двойного резонанса. Анализ спектров выполнен на основе гамильтонiana в представлении Уотсона с учетом эффектов центробежного искажения первого порядка. Для всех состояний определены вращательные, постоянные, постоянные центробежного искажения и главные моменты инерции. Вращательные постоянные в основном состоянии равны (в МГц)  $A = 3935,149(31)$ ,  $B = 1829,444(1)$ ,  $C = -1364,609(1)$ , а постоянные центробежного искажения — (в кГц)  $\Delta_J = 0,22(2)$ ,  $\Delta_{JK} = -0,70(2)$ ,  $\Delta_K = -3,22(2,16)$ ,  $\delta_J = 0,04(1)$ ,  $\delta_K = -0,68(11)$ . По эф-

иолемп.

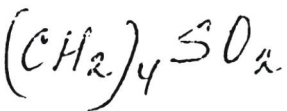
X.1981, 19, N 24.

фекту Штárка второго порядка для четырех переходов определены компоненты дипольного момента  $\mu_a = 1,409(2)D$ ,  $\mu_c = 0,391(64)D$  и полный дипольный момент  $\mu = 1,462(39)D$ . Полученные МВ-данные отнесены к конформеру с кольцом типа кресла с возможными углами связей  $\angle C_2C_1C_6 = 117,2^\circ$ ,  $\angle C_2C_3S_4 = 111,8^\circ$ ,  $\angle C_1C_2C_3 = 112,7^\circ$ . Из измерений относит. интенсивностей линий определены частоты колебательных мод.

С. Н. Мурзин



1981



9 Д458. Микроволновый спектр сулфолана. Micro-wave spectrum of sulfolane. Alonso José L. «J. Mol. Struct.», 1981, 73, 71—78 (англ.)

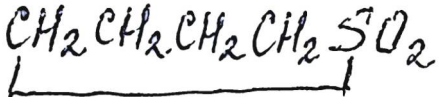
В диапазоне 26,5—40 ГГц измерен микроволны спектр циклической молекулы  $(CH_2)_4SO_2$ . Идентифицированы линии вращательных переходов R-ветви основного колебательного состояния и первых трех возбужденных состояний изгибающего колебания кольца. Определены значения вращательных и квартичных центробежных постоянных. Распределение интенсивности по линиям, связанное со статистикой ядерных спинов, и квазилинейная зависимость вращательных постоянных от колебательного состояния показывают, что пятичленное кольцо сулфолана имеет или изогнутую форму с псевдовращением или же квазиплоскую форму.

М. Р. Алиев

Л. С. Белкин

4.11.

Ф. 1981 № 9



1981

17 Б315. Микроволновый спектр сульфолана. A1 оп-  
so J. L. Microwave spectrum of sulfolane. «J. Mol.  
Struct.», 1981, 73, 71—78 (англ.)

Измерен в области частот 26,5—40,0 ГГц МВ-спектр  
сульфолана, CH<sub>2</sub>CH<sub>2</sub>CH<sub>2</sub>CH<sub>2</sub>SO<sub>2</sub>, в основном и первых

трех возбужденных состояниях деф. кол. кольца. Ана-  
лиз спектра выполнен с использованием гамильтониана  
в представлении Уотсона в приближении квартичного  
центробежного искажения. В колебательных состояниях  
 $v=0, 1, 2$  и  $3$  соотв. вращательные постоянные равны  
(в МГц)  $A=3780,814(326), 3784,885(411), 3788,047(517)$   
и  $3791,807(579)$ ,  $B=2047,243(6), 2049,909(7), 2052,213(11)$   
и  $2054,255(5)$ ,  $C=1899,572(6), 1902,996(8), 1906,203(12)$   
и  $1909,302(5)$ , а постоянные центробежного искажения  
(в кГц) —  $\Delta_J=0,15(5), 0,14(3), 0,15(5)$  и  $0,14$ ,  $\Delta_{JK}=$   
 $=4,36(19), 3,71(15), 3,60(9)$  и  $4,36$ ,  $\Delta_K=-113(72),$   
 $140(93), 377(138)$  и  $414(40)$ ,  $\delta_K=-4,50(1,48), 0, 0$  и  $0$ .  
Полученные данные согласуются с двумя альтернатив-

М.Н.

Х. 1981 N 17

1981



Кл. нех,  
рук. стер

II Б56. «Син-эффект» в сульфинах и карбонилоксих. Предпочтительные конформации  $\text{CH}_3\text{CHSO}$  и  $\text{CH}_3\text{CHOO}$ . Block Eric, Penn Robert E., Bazzi Ali A., Сгемег Dieter. The «Syn-effect» in sulfines and carbonyl oxides: conformational preferences of  $\text{CH}_3\text{CHSO}$  and  $\text{CH}_3\text{CHOO}$ . «Tetrahedron Lett.», 1981, № 22, № 1, 29—32 (англ.)

Неэмпирическим методом ССП МО ЛКАО рассчитаны конформации метилпероксиметиlena  $\text{CH}_3\text{CHOO}$  (I) и этантиль S-оксида  $\text{CH}_3\text{CHSO}$  (II). В обоих соединениях син-изомер стабильнее чем транс-, вне зависимости от конформации метильной группы. Барьер вращения метильной группы в син-конформации составляет 2,6 ккал/моль в I и 0,8 ккал/моль в II, причем в I-

(+)



Х. 1981. № 11

случае минимуму энергии отвечает анти-, а во 2-м случае син-конформация метильной группы относительно связи  $C=X$  ( $X=O, S$ ). Анти-изомер проигрывает син-изомеру 3,3 ккал/моль в I и 1,7 ккал/моль в II. Предсказанный порядок стабильностей изомеров II согласуется с имеющимися эксперим. данными. Предпочтительность син-изомеров I и II объясняется наличием в этой структуре стабилизирующих псевдоароматических  $\sigma$ - и  $\pi$ -стабилизирующих взаимодействий, первое из которых доминирует в II, а второе в I. В. Фаустов

$(CH_3O)_2SO_2$

Отиск 13945 1981

17 Б134. Геометрия и конформация диметилсульфата изученные методами электронографии и измерения дипольного момента. В гипволл Йоп, Эхнер Otto, Наггитти István. Geometry and conformation of dimethyl sulphate as investigated by electron diffraction and dipolometry. «J. Mol. Struct.», 1981, 73, 99—104 (англ.)

Методом газовой электронографии изучена структура молекулы диметилсульфата  $(CH_3O)_2SO_2$  (I). Электронографич. данные были интерпретированы в предположении о существовании в газовой фазе I двух ротамеров симметрии  $C_2$  и  $C_{2v}$  в соотношении 2 : 1. Это предположение согласуется с измерениями дипольного момента I и диэтилсульфата в р-ре бензола. Найдены след. значения межъядерных расстояний ( $r_g$ , pm) и углов: C—H 112,2(0,6), S=O 141,9(0,4), O—C 145,1(1,0), S—O 156,7(0,3), O...O 248,4(1,2), O...O (O=S—O) 242,1(0,7), O...O (O—S—O) 236,7(1,6),  $\angle$ OCH 108,9(1,3) $^\circ$ ,  $\angle$ S—O—C 115,2(0,7) $^\circ$ ,  $\angle$ O—S—O 98,2(08,0) $^\circ$ ,  $\tau$ (C—O—S—O) 47,8(2,1) $^\circ$ ,  $\angle$ O=S=O 122,3(0,8) $^\circ$ ,  $\angle$ O=S—O 108,7(0,4) $^\circ$ .

В. Спиридонов

исследован  
глазер

Х. 1981 N 17

$\text{HCOSCH}_3$

Lommel 13281 | 1981

Caminati W.,

V<sub>0</sub>;

J. Mol. Spectrosc.  
1981, 90, N<sub>2</sub>, 315-320.

1981

НСОСЧ<sub>3</sub>

5 Д380. Определение барьера внутреннего вращения метильной группы в метилтиолформате по микроволновому спектру. The barrier to internal rotation of the methyl group in methyl thiolformate from microwave spectroscopy. Caminati Walther, Van Eijck Bouke P., Listér David G. «J. Mol. Spectrosc.», 1981, № 1, 15—19 (англ.)

В диапазоне 16—40 ГГц исследован микроволновой спектр молекулы метилтиолформата. Идентифицированы линии вращательных переходов с  $J \leq 20$  в основном колебательном состоянии, а также туннельное  $A-E$ -расщепление линий с  $J \leq 5$ . Анализ спектра выполнен методами внутренних и главных осей с учетом квартичного центробежного искажения. Определены значения вращательных постоянных, постоянных квартичного центробежного искажения и барьера внутреннего вращения метильной группы ( $V_3 = 1,75$  КДж/моль).

М. Р. Алиев

 $\mu\text{-n.}, V_3$ Ф. 1982, 18, NS.

HCSOH

1981

George P. B. Charles W.,  
et al.

R.B. cccex.  
paeriu  
SH. ch.83u Chem. Phys. Lett., 1981,  
80, N1, 127 - 130.

(ccc. HCOOH;  $\text{m}^{\circ}$ ).

$\text{HC}(=\text{O})\text{SH}$

1981

$\text{HC}(=\text{O})\text{SOH}$

George Philip, et al

Kb. et. pacrem  
2000.,  $\Delta E$

Chem. Phys. lett., 1981,  
80, n1, 127-130.

●  $(\text{cu}\text{HC}(=\text{O})\text{OH})\overline{\text{III}}$

HCOOH.

1981

Kraeuter

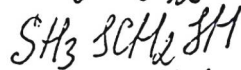
George P., et al.

Received,  
Cent. well

J. Mol. Struct., 1981,  
46, NY (Theochim,  
1981, 1, NY) 363-374.

(crys. HCOOH;  $\text{III}$ ).

1981



расчет  
геометр,  
структур

74

X 1982, 19, N 5

5.Б76. Электронное строение и конформационная стабильность некоторых сераорганических соединений. Ohsaku Masaru, Mугата Ниготи. Electronic structures and conformational stabilities of some organo-sulfur compounds. «J. Mol. Struct.», 1981, 85, № 1—2 («Geochem», 1981, 2, № 1—2), 125—131 (англ.)

Выполнены неэмпирич. расчеты конформаций молекул  $\text{HO}(\text{SH}_2)_2\text{OH}$ ,  $\text{HO}(\text{CH}_2)_2\text{SH}$ ,  $\text{HS}(\text{CH}_2)_2\text{SH}$ ,  $\text{HSCH}_2\text{SH}$  и  $\text{SH}_3\text{SCH}_2\text{SH}$  при эксперим. геометрии в базисах А) ОСТ=ЭГФ, Б) 4—31 ГФ и В) поляризованный базис с добавлением набора  $d$ -АО на атомах серы с орбитальной экспонентой 0,43 (оптимизирована для транс-гош-конформации  $\text{HSCH}_2\text{SH}$ ). Всего изучено 36 конформаций. Для сравнения аналогичные расчеты проведены полумпирич. методом ППДП/2 в базисе  $spd'$ . Сравнение с эксперим. данными показывает, что базисы Б и В хорошо описывают конформац. стабильность изученных молекул. Базис А дает неудовлетворительные результаты для молекул с 2 атомами серы, переоценивая стабильность транс-конфигураций и, по-видимому, также энергетич. разности между конформерами.

В. Я. Беспалов

SH<sub>3</sub>SCH<sub>2</sub>SH

SCH<sub>3</sub>OCH<sub>3</sub>

1981

12 Д498. Соотношение колебательных спектров с молекулярной структурой метилтиоформиата. Vibrational spectra-molecular configuration correlation in methylthioformate. Randhawa H. S. «Z. phys. Chem.» (DDR), 1981, 262, № 3, 561—566 (англ.)

При комнатной т-ре исследованы спектры ИК-поглощения и комб. рас. в области 500—3100 см<sup>-1</sup> метилтиоформиата SCH<sub>3</sub>OCH<sub>3</sub> (I) в газообразном состоянии. Отнесение наблюдаемых частот проведено на основании сопоставления со спектрами сходных молекул. Анализ распределения относит. интенсивностей и формы контуров колебательно-вращательных полос в спектрах ИК-поглощения позволил высказать предположение, что в молекулах I алкильные группы занимают цисположение относительно тиокарбонильных групп. Барьер внутреннего вращения метильных групп составляет 0,75 ккал/моль.

оф. 1981, 18, № 12.

C-II-5-7

1981

(сезак.)

24 Б156. Циклопентадиентион. Schulz Reinhard, Schweig Agm i p. Cyclopentadienthion. «Angew. Chem.», 1981, 93, № 6—7, 603—605 (нем.)

Методом фотоэлектронной спектроскопии исследован термич. распад 1,2,3-бензоксадитиол-2-оксида и 1,3-бензоксатиол-2-она. Оба спектра обнаруживают ионизац. полосы неизвестного соединения, идентифицированного как циклопентадиентион (I). На основании расчетов электронного строения I полуэмпирич. методами МПДП и ППДП/С ионизац. полосы I получили след. отнесения (приведены после эксперим. значений потенциалов ионизации, эВ): 8,87  $^2B_2(n_s)$ , 9,18  $^2A_2(\pi)$ , 10,35  $^2B_1(\pi)$ .

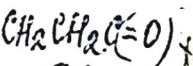
В. Фаустов

И. Спекр

2j.

X. 1981, 19, № 4.

1981



• SH

19 Б311. Микроволновый спектр цис-тиопропионовой кислоты. Takahashi Y., Yamaguchi I. Microwave spectrum of cis-thiopropionic acid. «J. Mol. Struct.», 1981, 74, № 1, 43—47 (англ.)

Измерен в области частот 10—35 ГГц МВ-спектр цис-тиопропионовой к-ты,  $\text{CH}_3\text{CH}_2\text{C}(=\text{O})\text{SH}$ , в основном колебательном состоянии. Выполнена обработка данных для 32 отнесенных переходов с использованием гамильтониана в представлении Уотсона с учетом квартичного центробежного искажения. Определены врачательные постоянные (МГц):  $A = 8729,128$  (30),  $B = 2389,545$  (8),  $C = 1922,548$  (9) и постоянные центробежного искажения (в кГц)  $d_J = -0,93$  (15),  $d_{JK} = 3,3$  (6,4),  $d_K = 48$  (20),  $d_{WJ} = 0,58 \cdot 10^{-3}$ ,  $d_{WK} = -5,2 \cdot 10^{-3}$ . По эффекту Штарка 2-го порядка для 3 переходов определены компоненты дипольного момента  $\mu_a = 0,40$  (2)  $D$ ,  $\mu_b = 1,56$  (19)  $D$  и полный дипольный момент  $\mu = 1,61$  (20)  $D$ . При расчетах предполагали, что компонента  $\mu_c$  равна нулю. Модельный расчет врачательных постоянных и компонент дипольного момента подтвердили выполненное отнесение МВ-спектра к цис-конформеру тиопропионовой кислоты с транс-положением связи S—H по отношению к  $\text{C}_1$ — $\text{C}_2$  связи.

4, 11.

X. 1981, N/9

Основное состояние другого, гом-конформера расположено, приблизительно, на  $400 \text{ см}^{-1}$  выше по сравнению с цис-конформером. Полученные результаты согласуются с известными данными для родственных молекул,  $\text{CH}_3\text{CH}_2\text{COF}$  и  $\text{CH}_3\text{CH}_2\text{CHO}$ . С. Н. Мурзин

68  
и 2f

$\text{HC}(\text{S})\text{OH}$   
 $\text{HC(O)SH}$   
kb. weex.  
pacret  
zeoweeipew

1981

Trenerry V. Craige  
et al.

Nouv. j. chim., 1981,  
5, N.3, 193 - 199.

( $\text{Cu} \cdot \text{SiH}_3^+$ ;  $\text{H}_3^+$ )